

FIG. 1

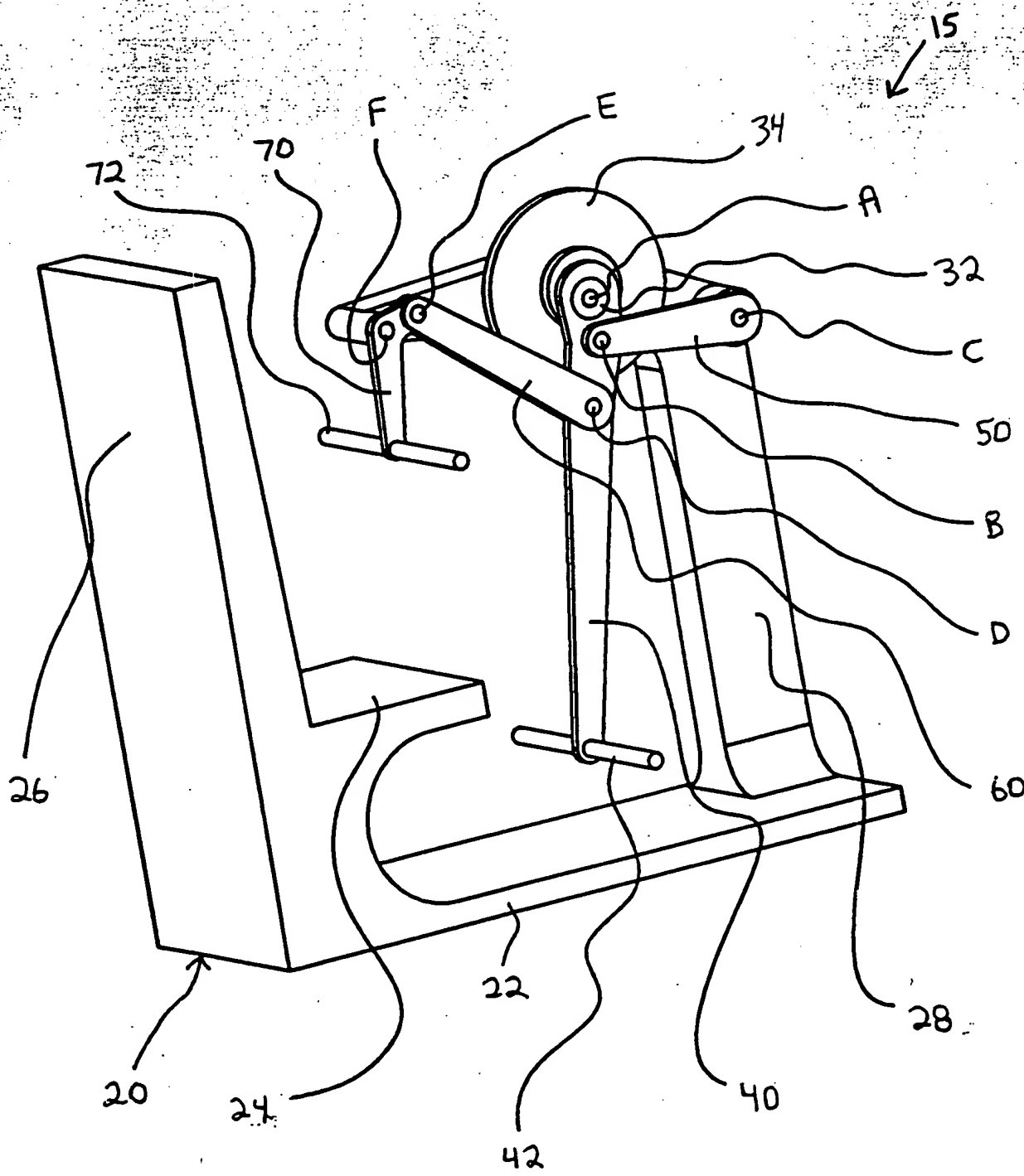


FIG. 2

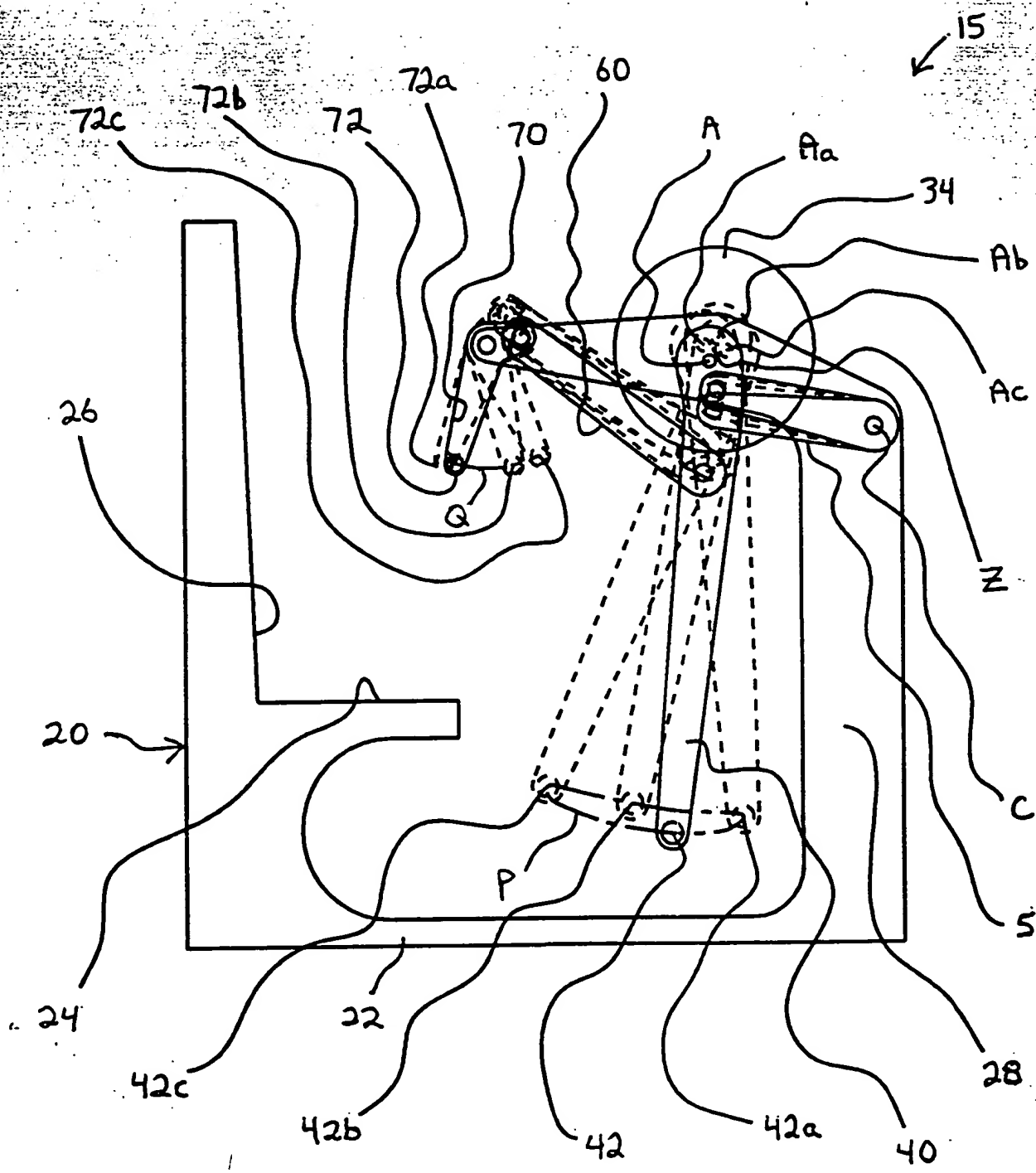


FIG. 3

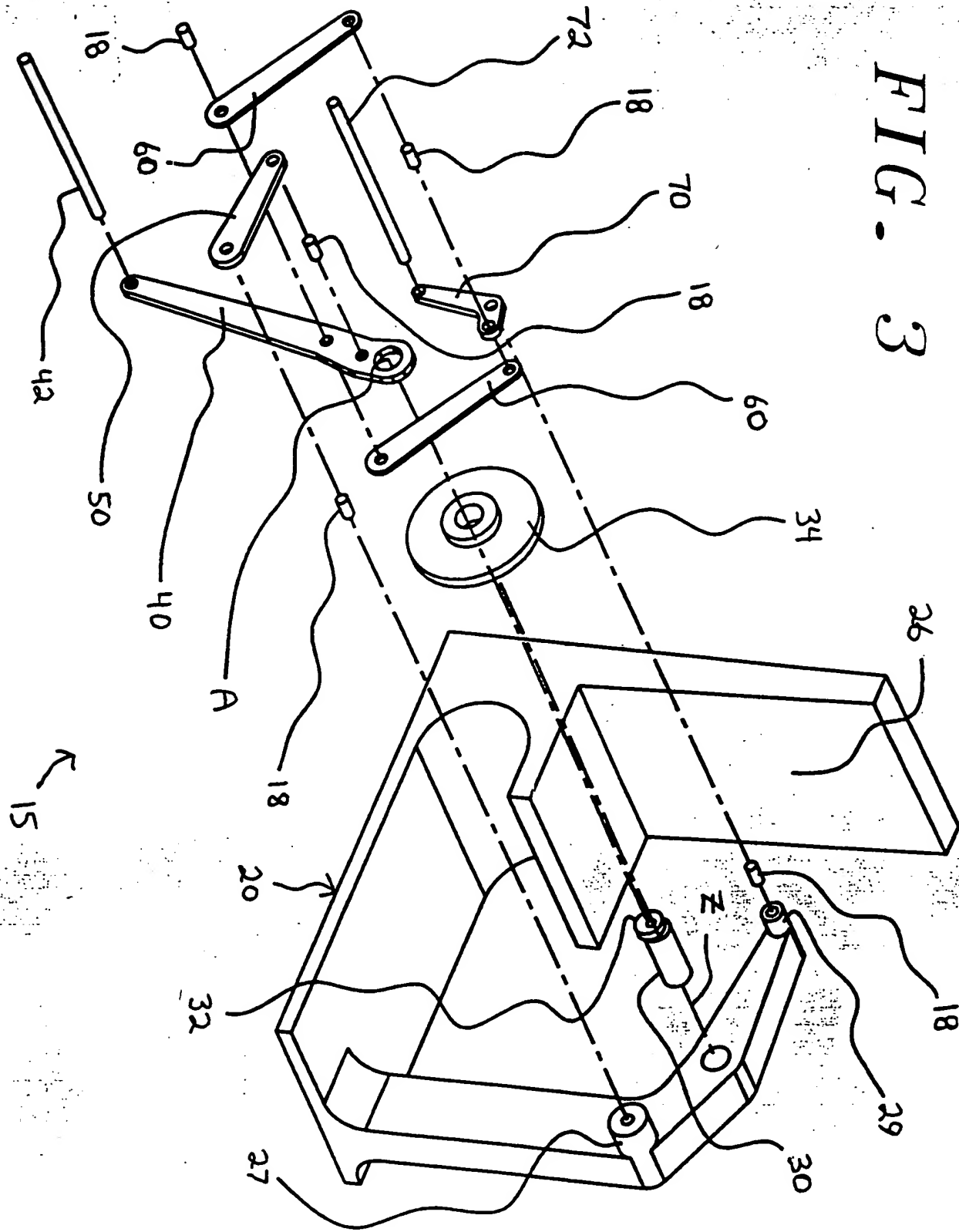


FIG. 4

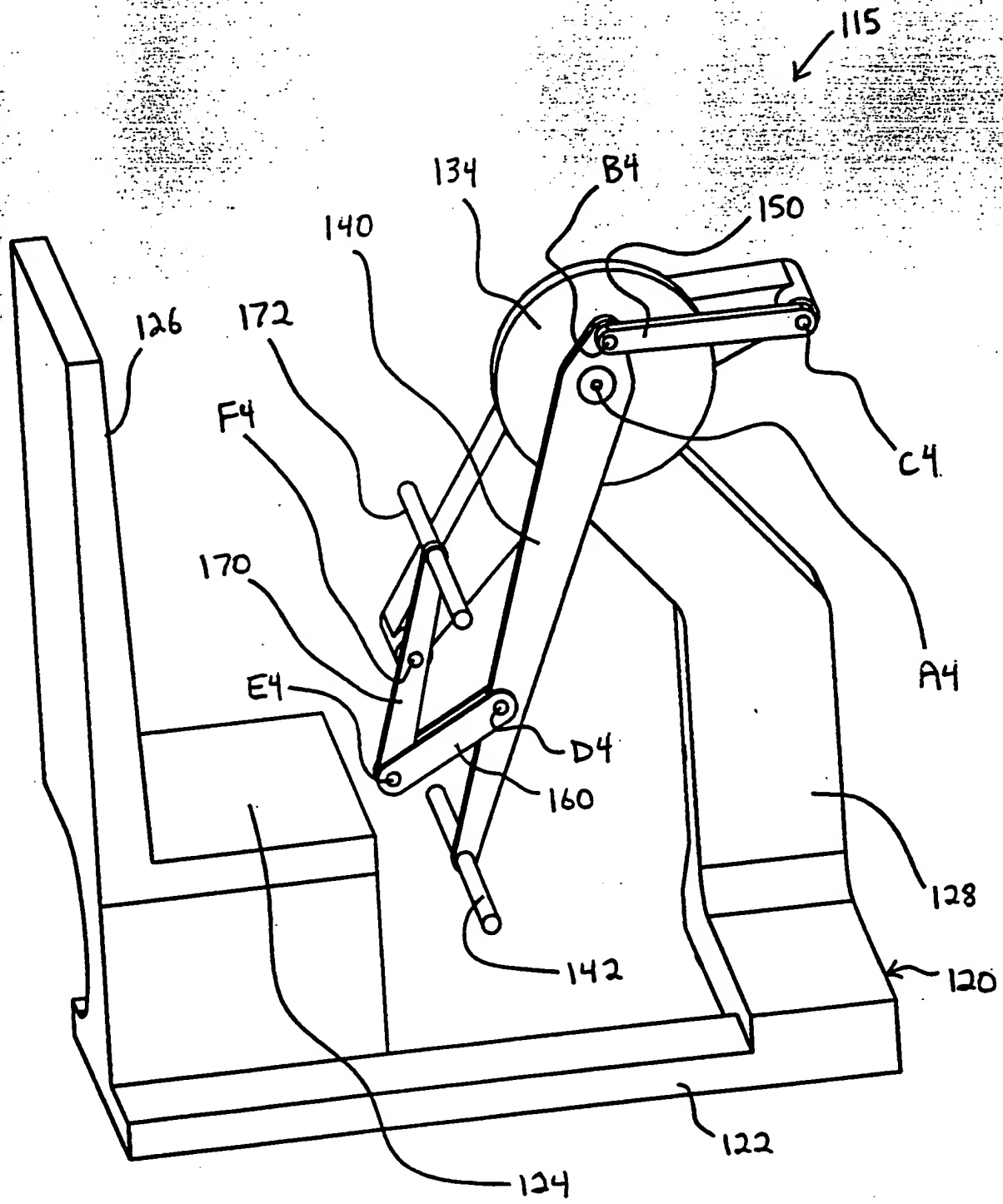


FIG. 5

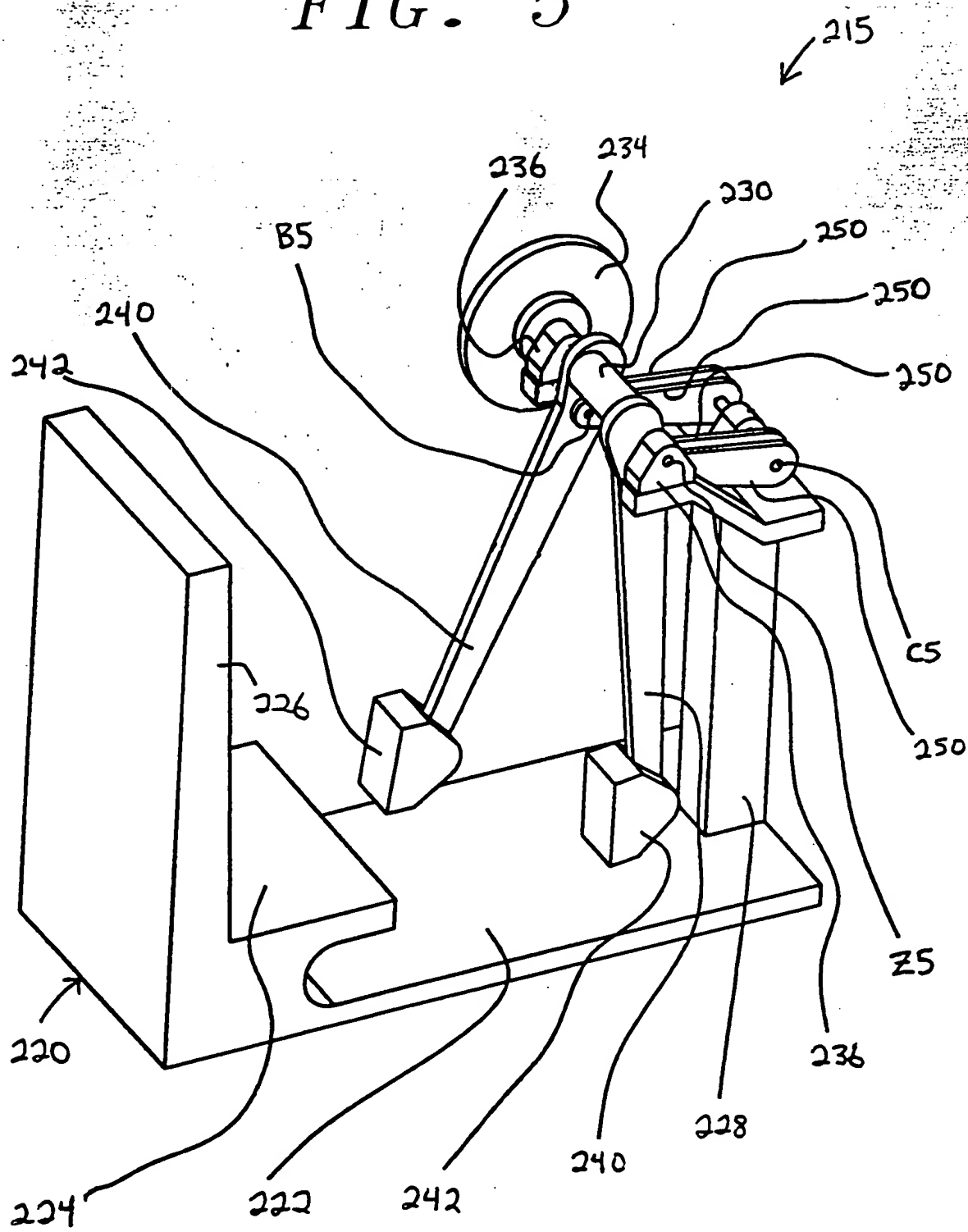
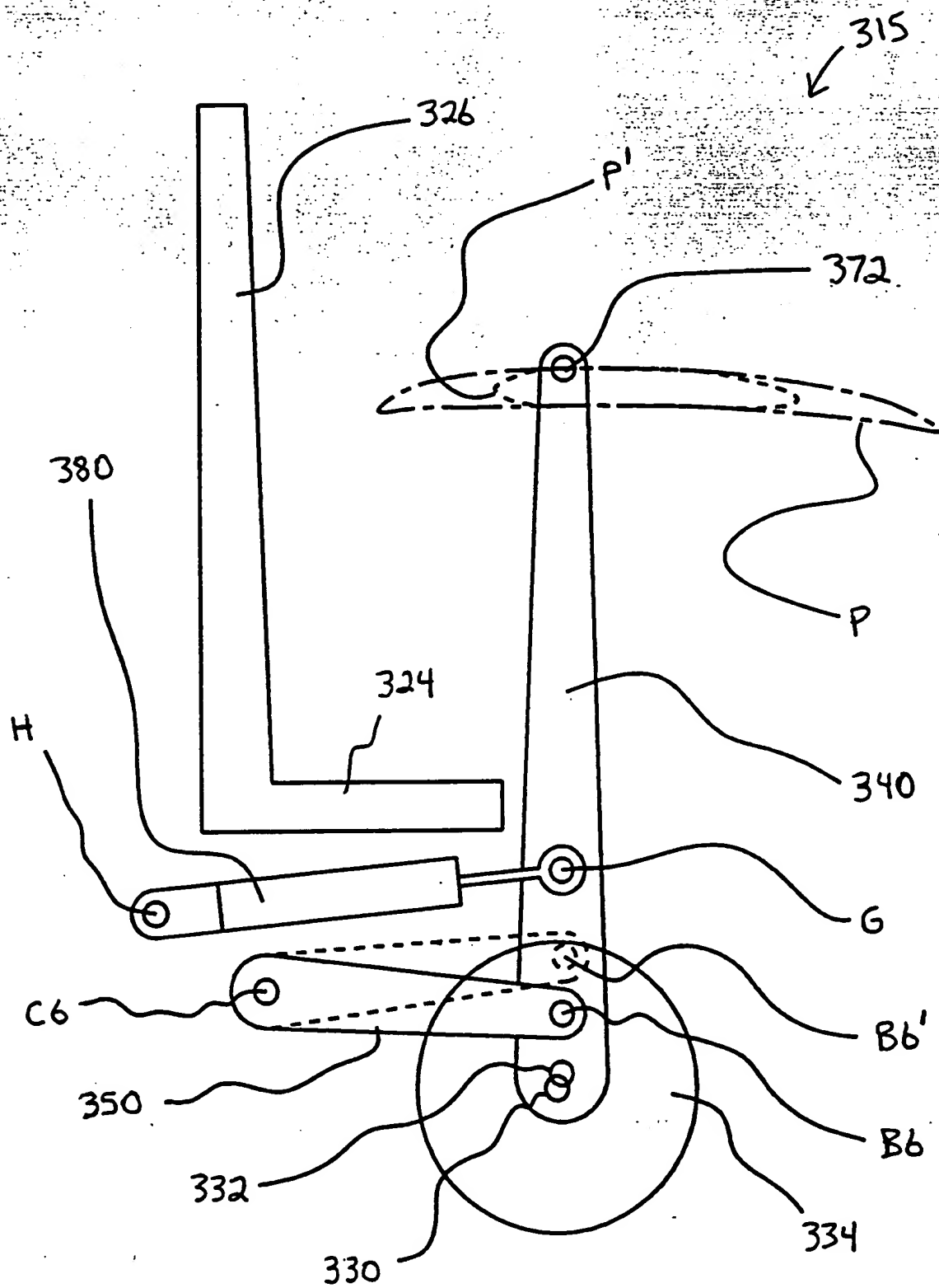


FIG. 6



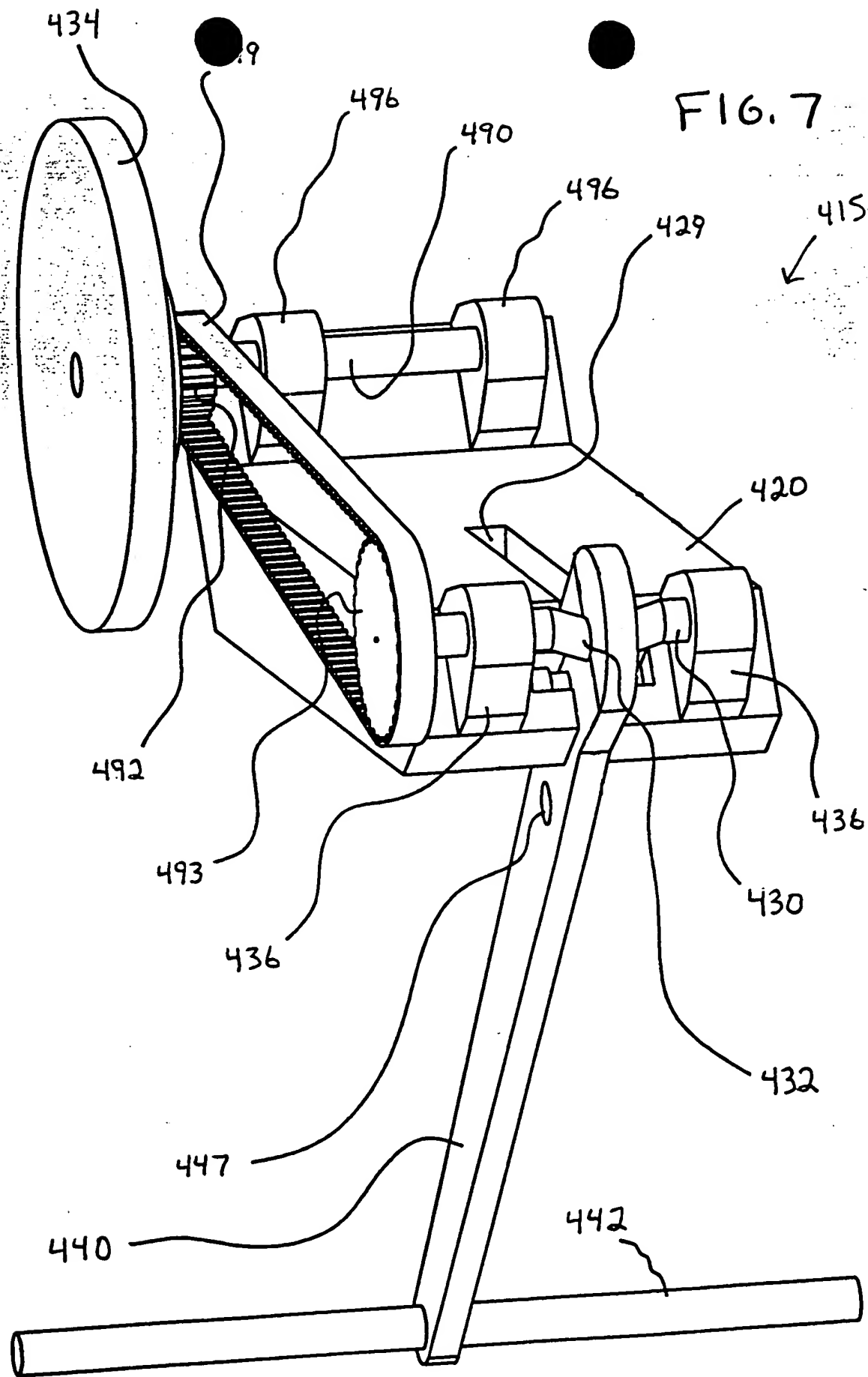


FIG. 8

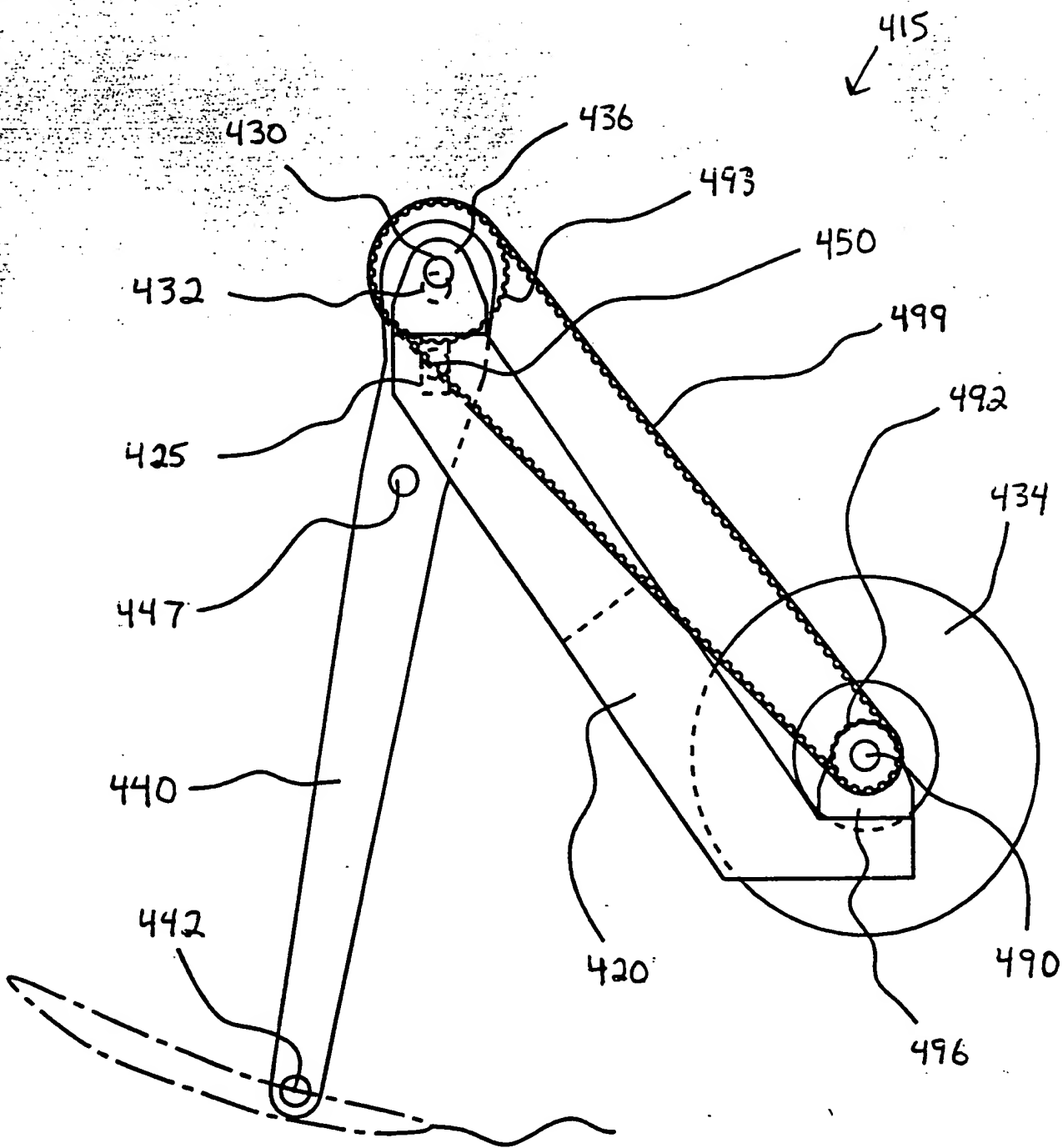


Fig. 9

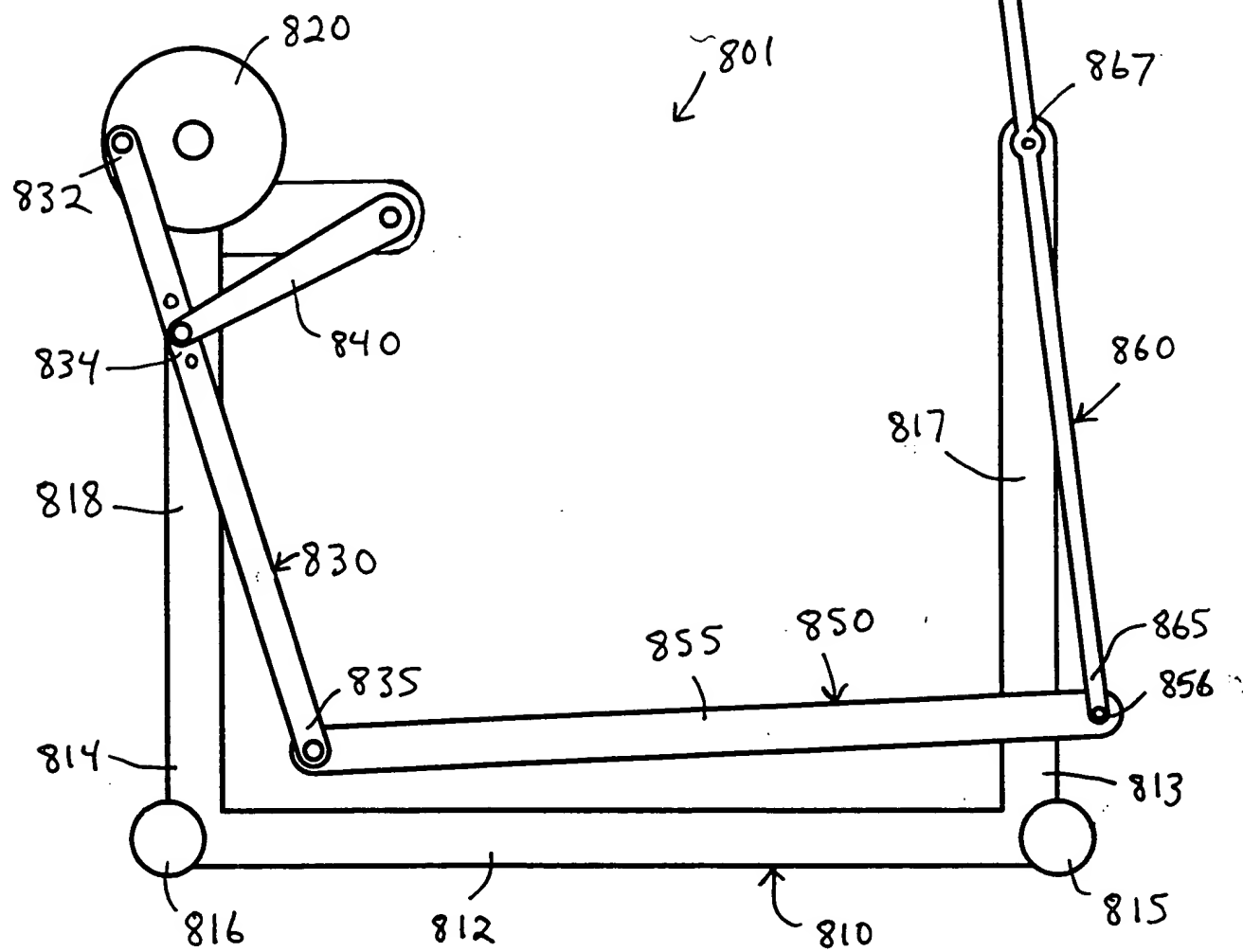


Fig. 10

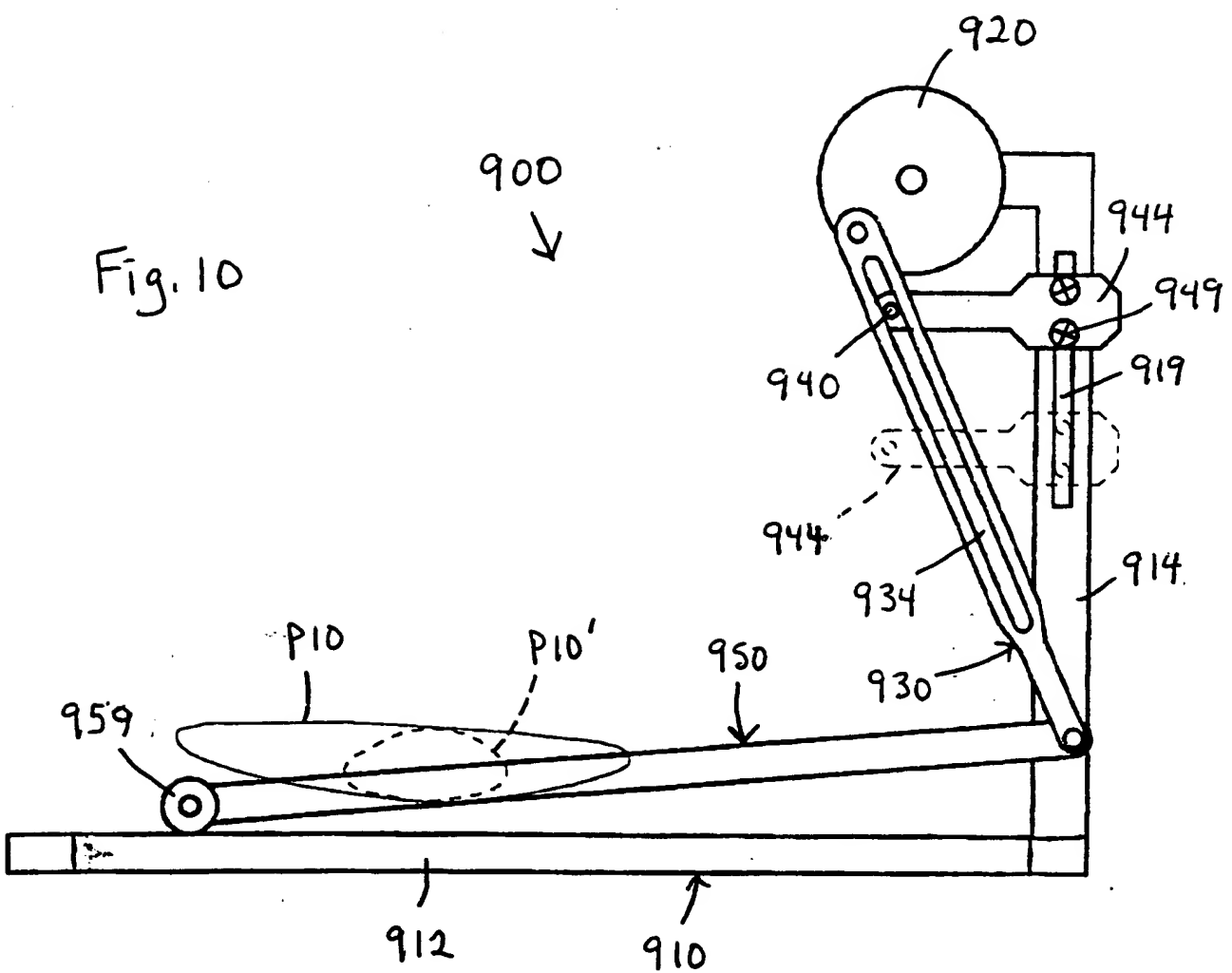


Fig. 11

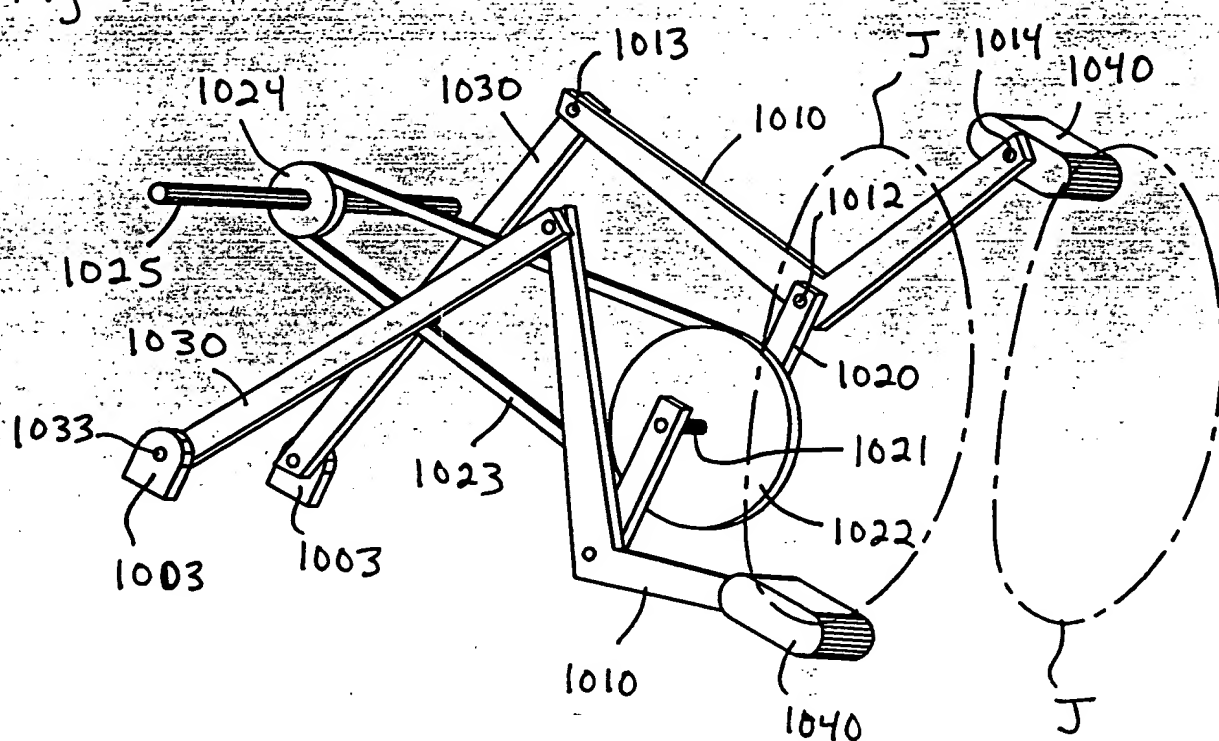
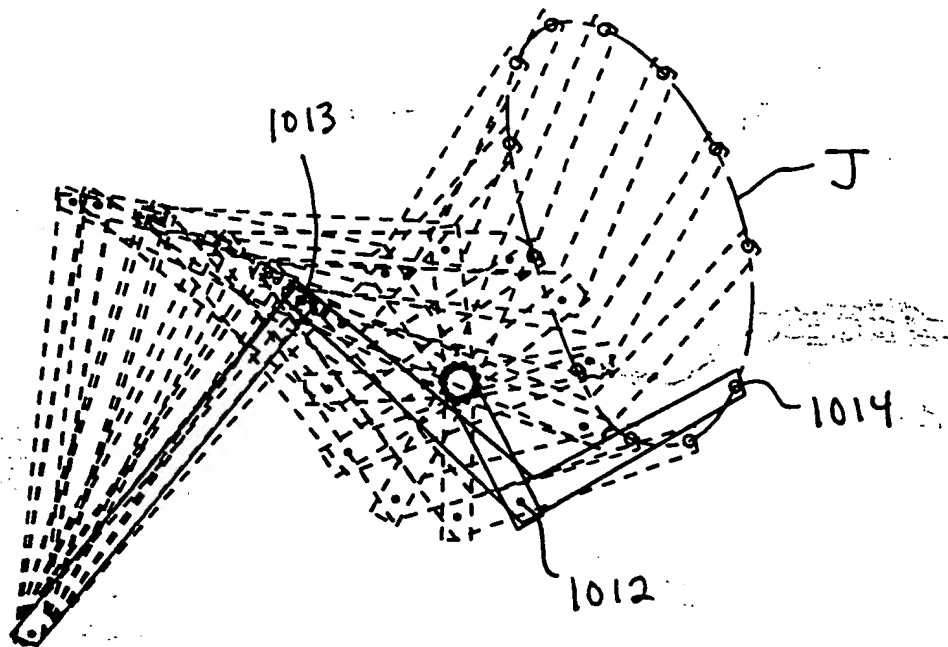


Fig. 12



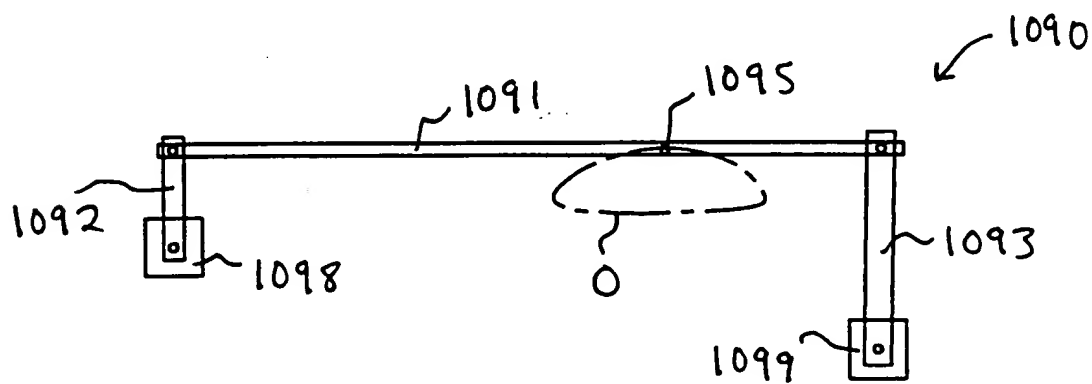
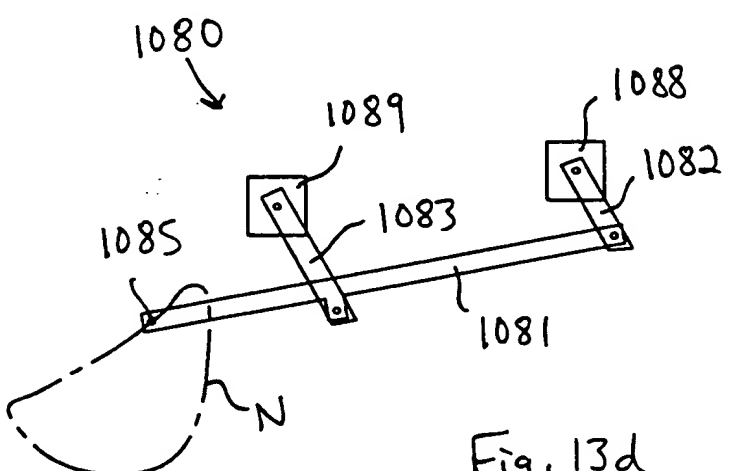
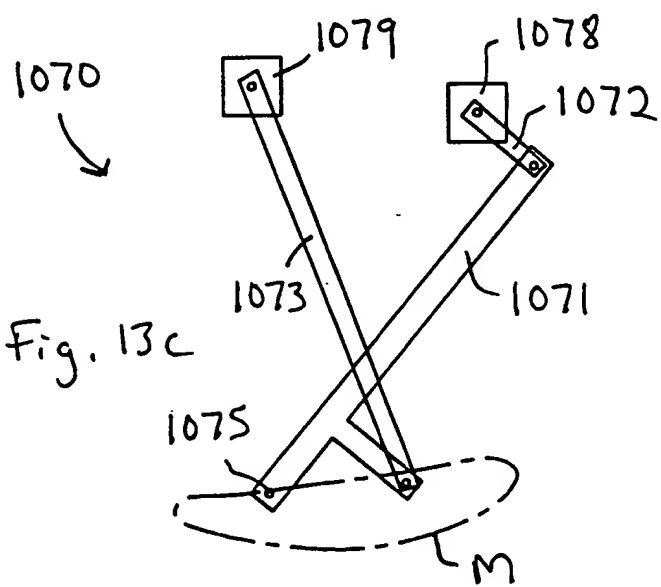
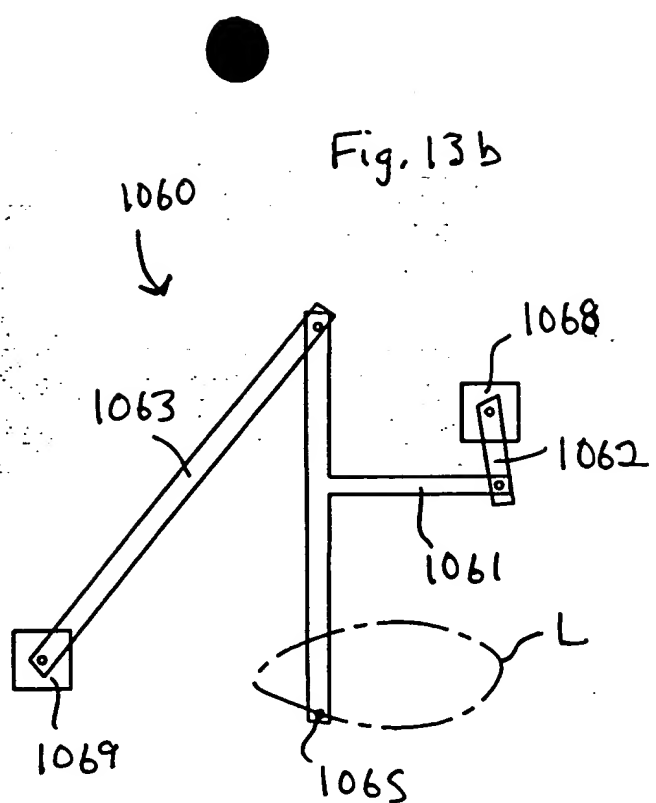
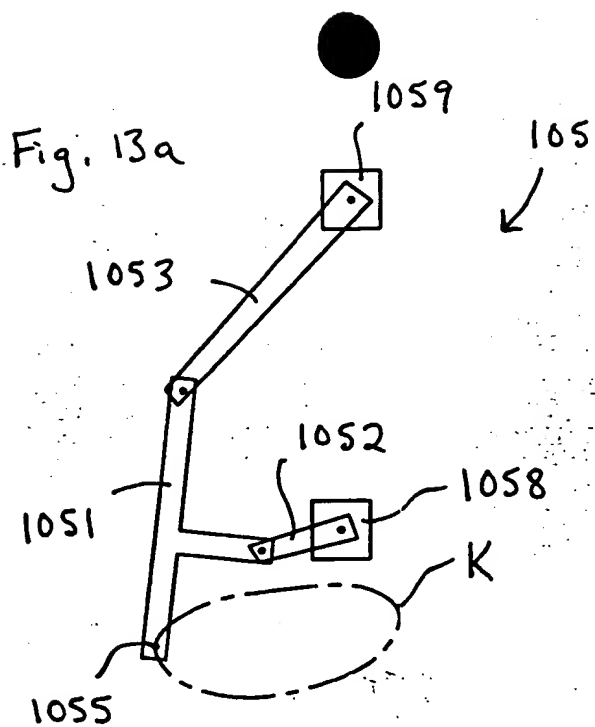


Fig. 13c

Fig. 14

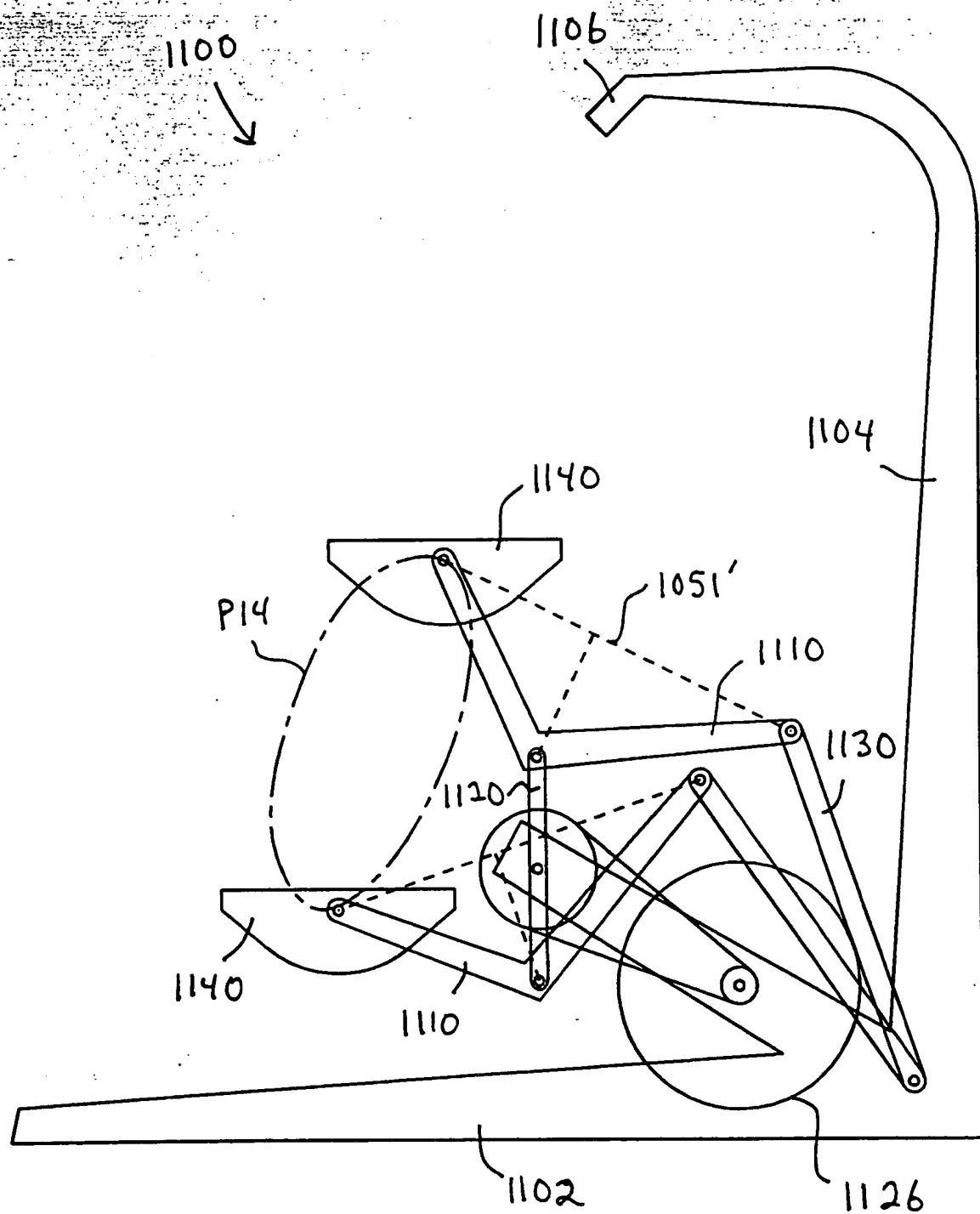
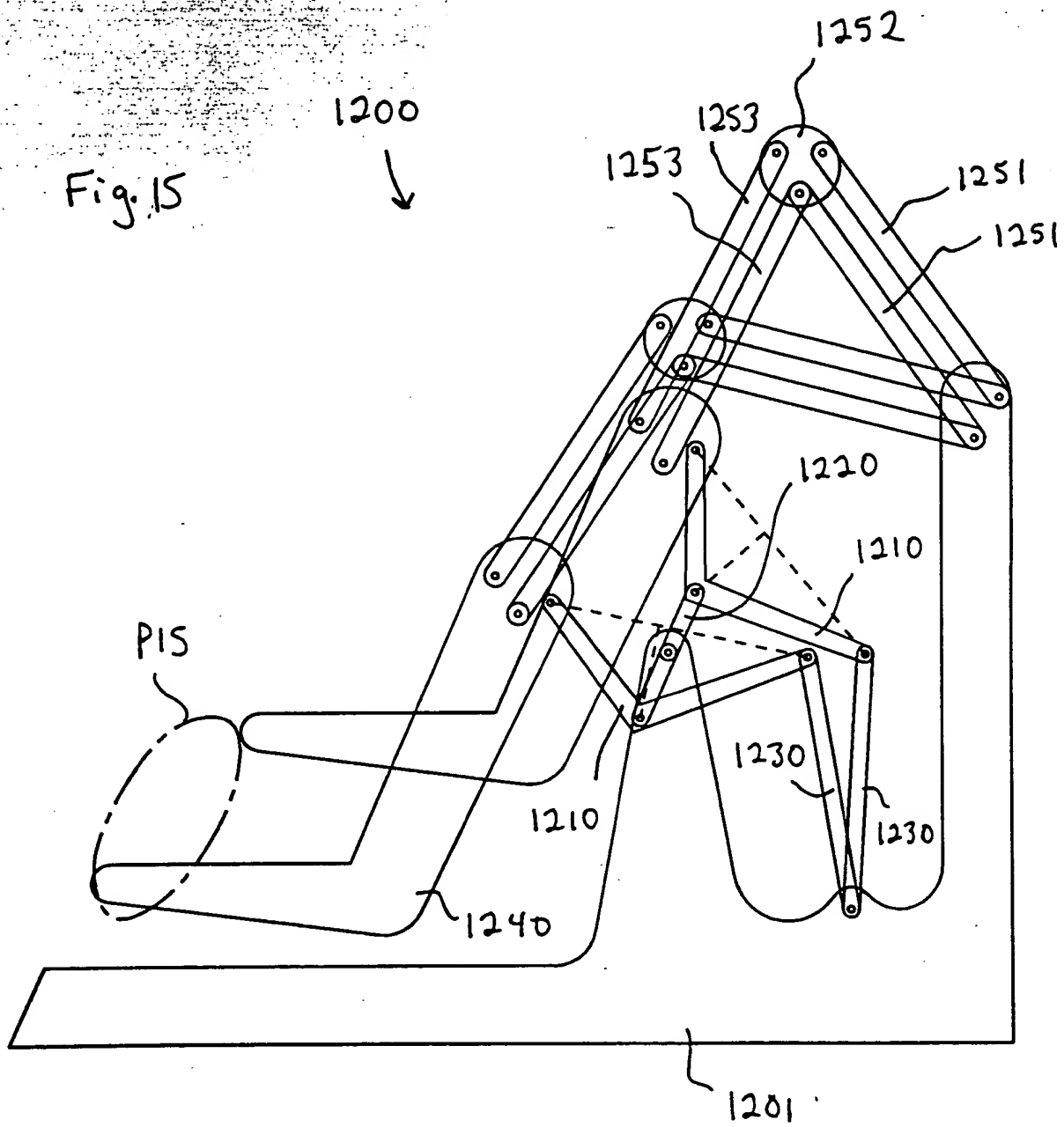
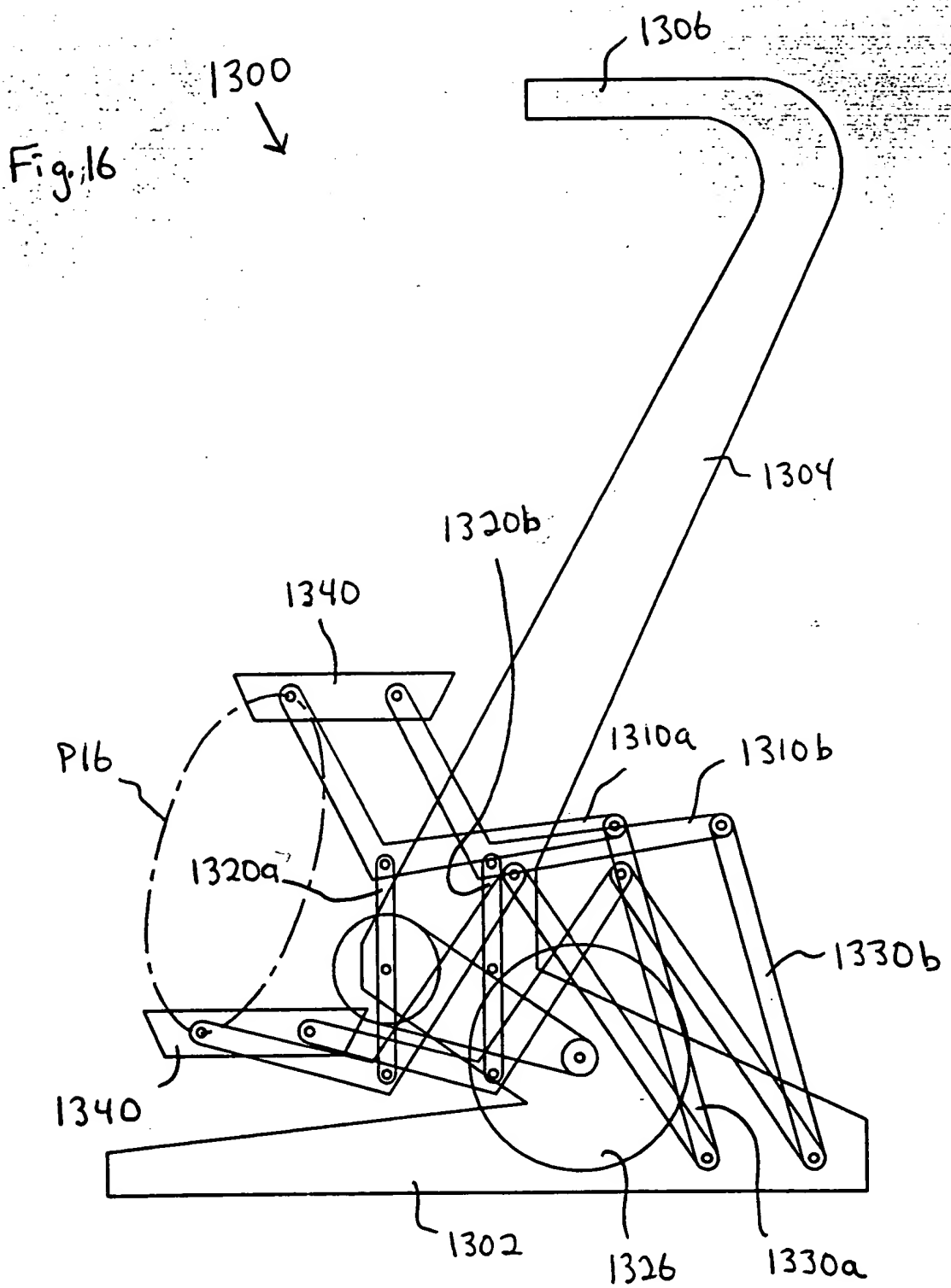


Fig. 15

1200





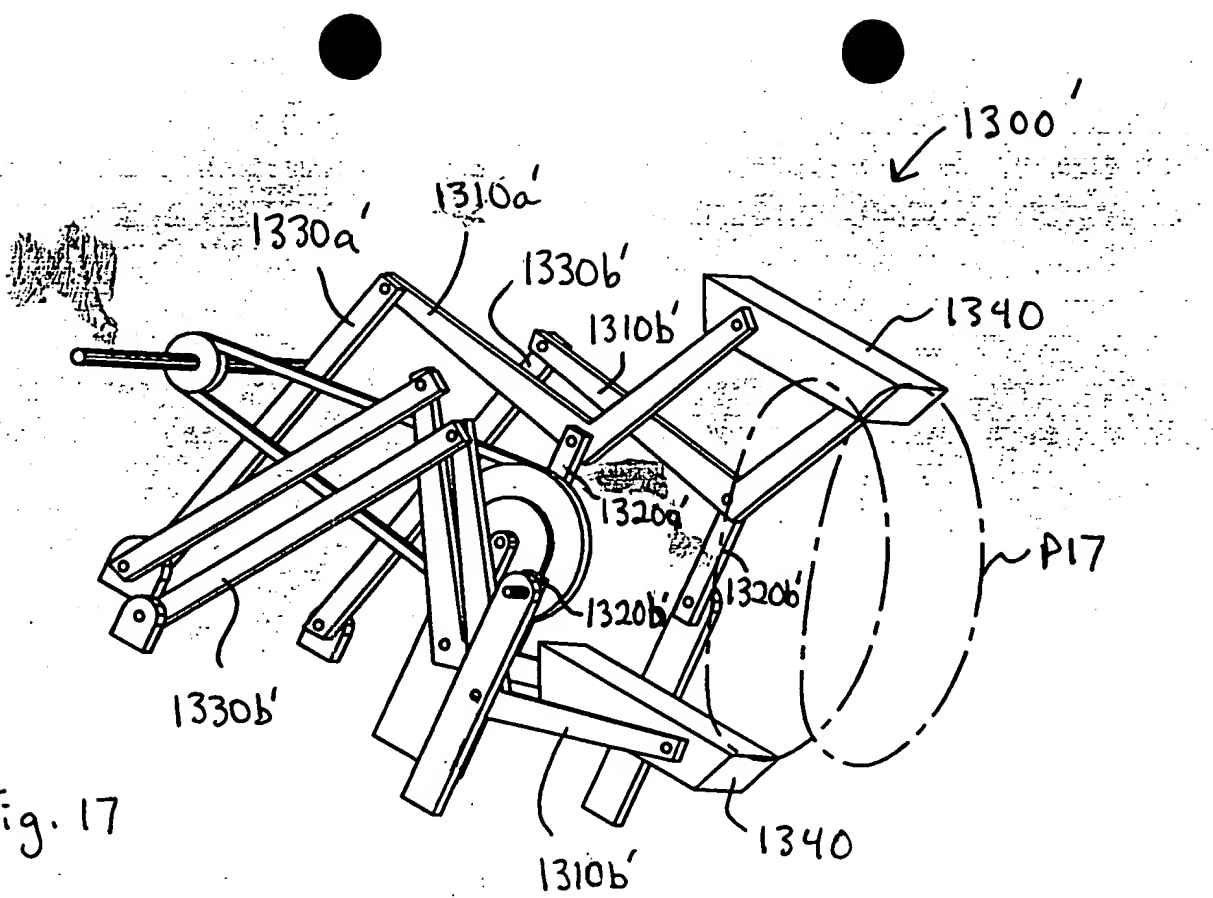


Fig. 17

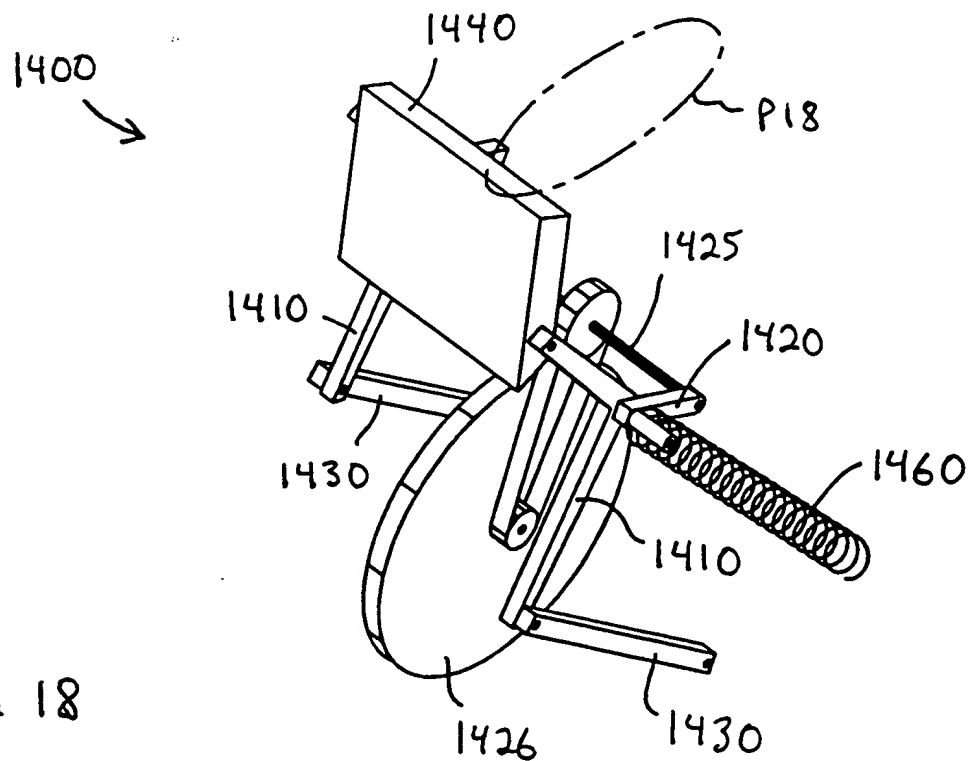


Fig. 18

Fig. 19

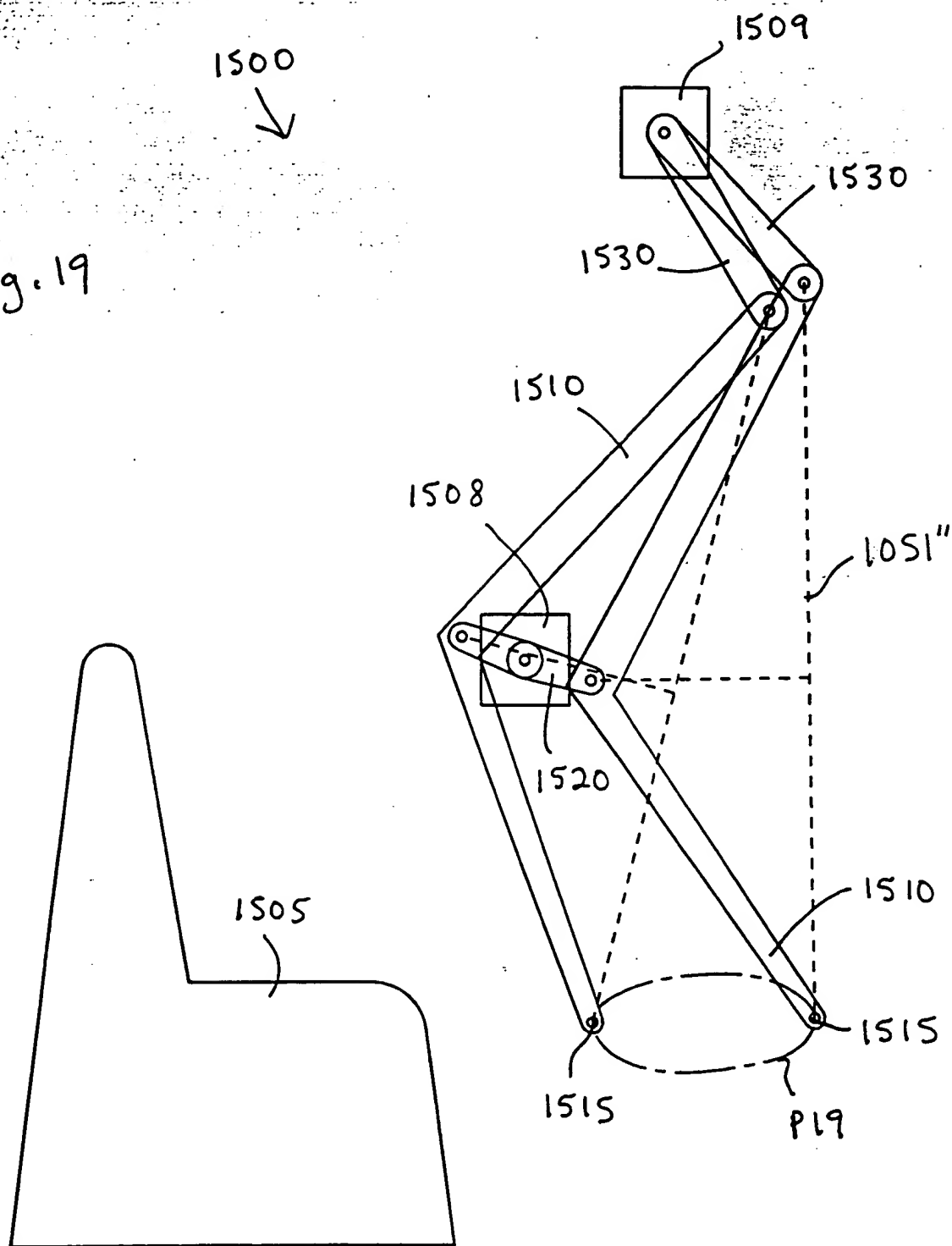


Fig. 20

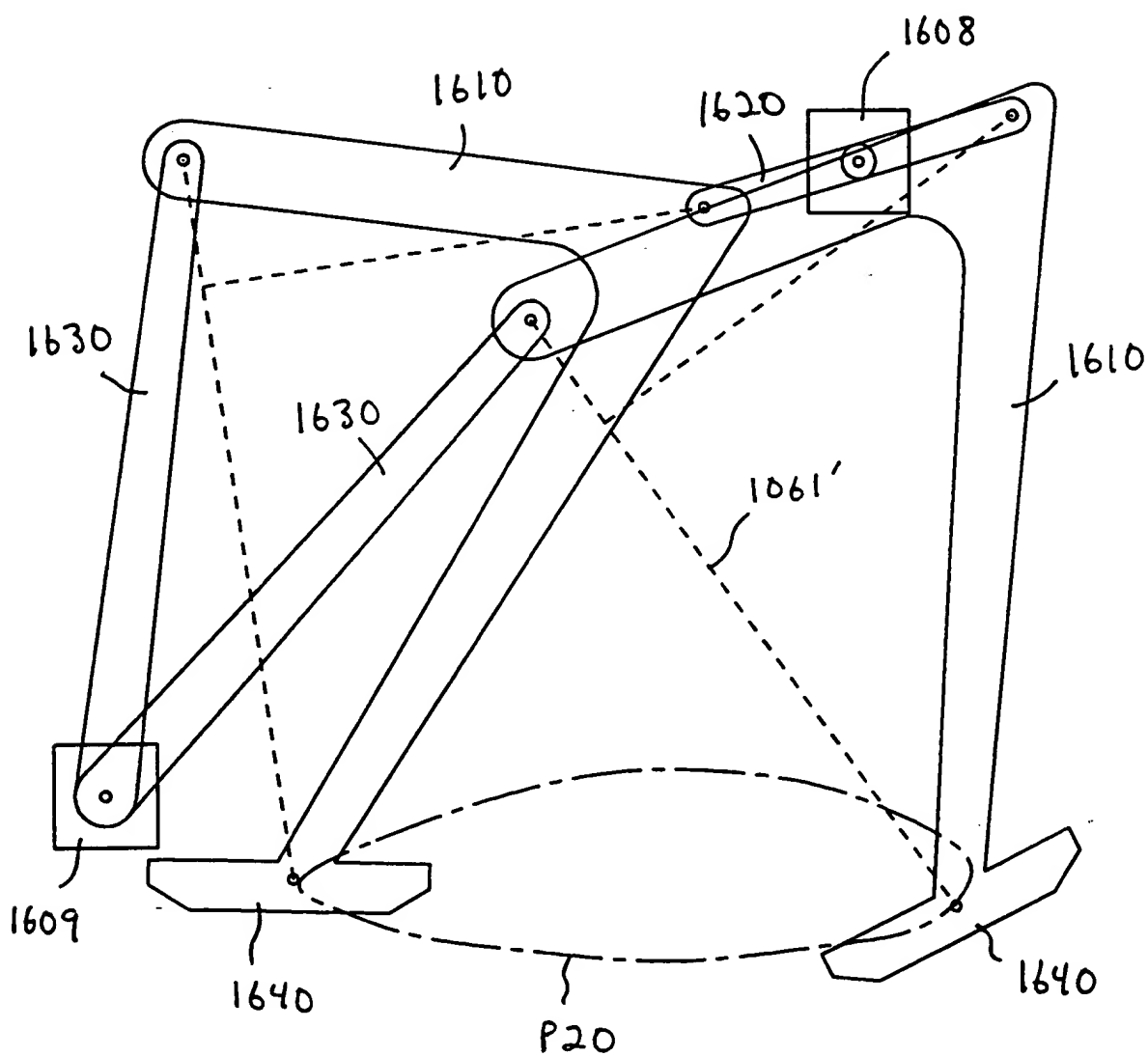


Fig. 21

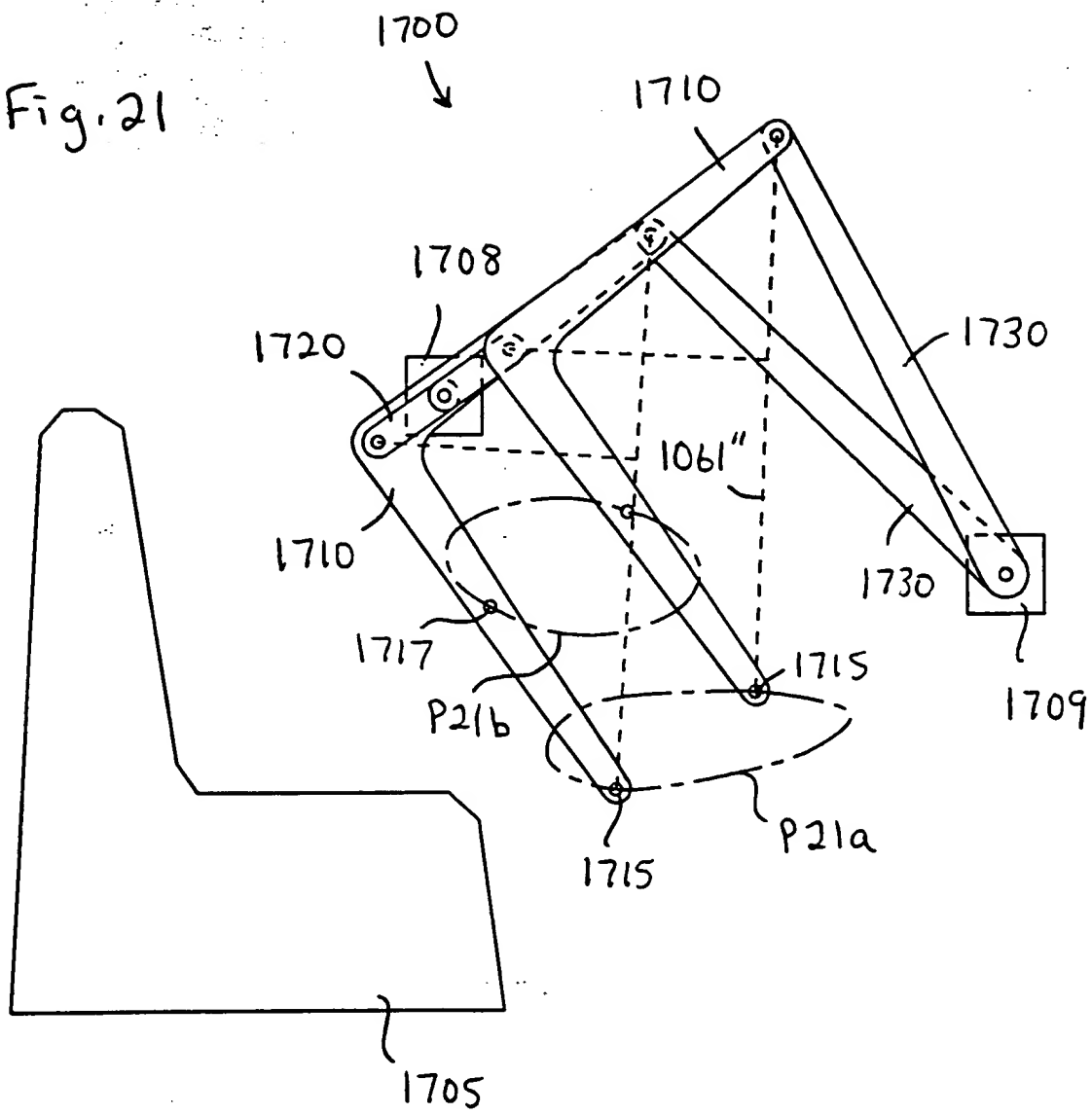


Fig. 22

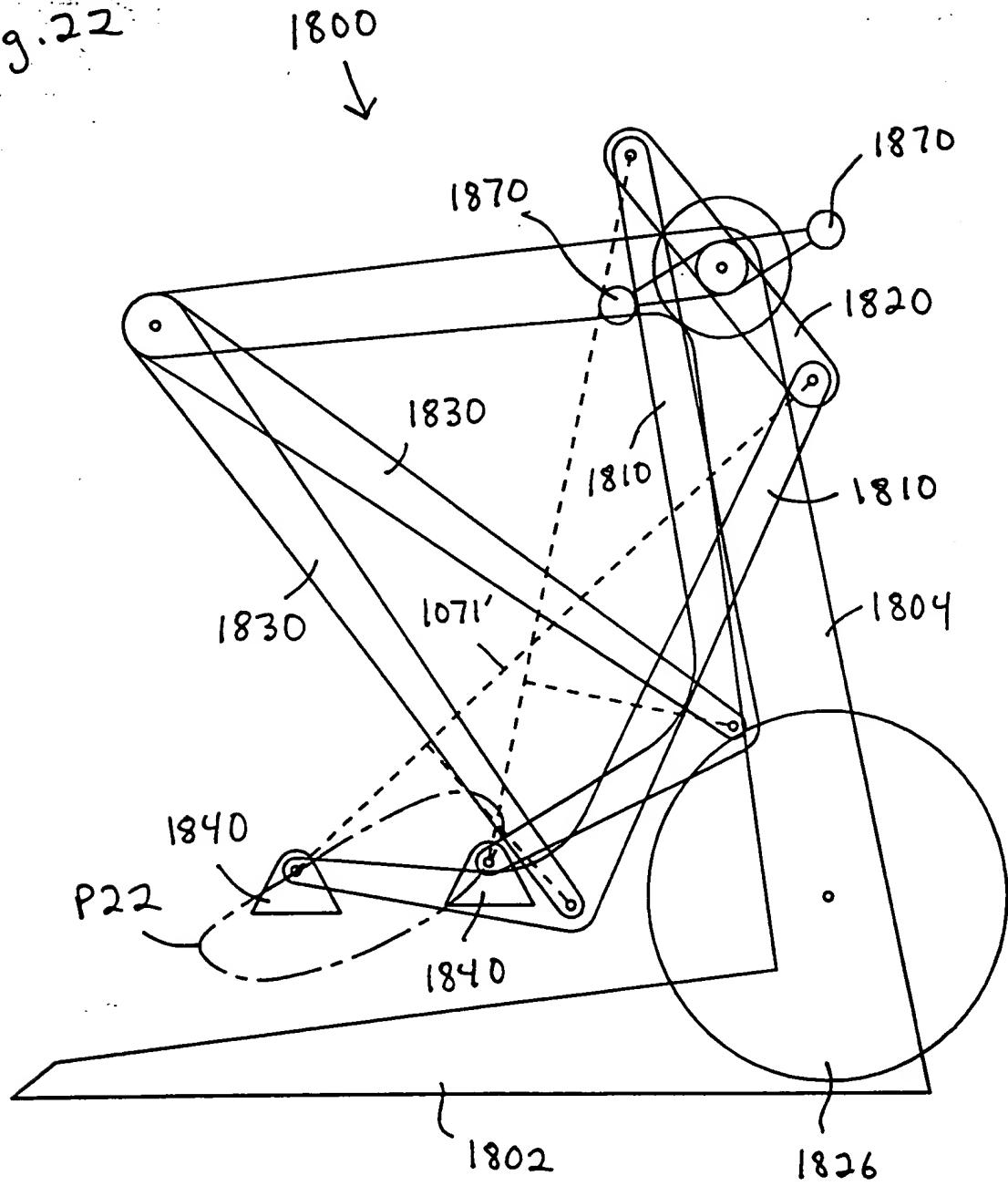


Fig. 23

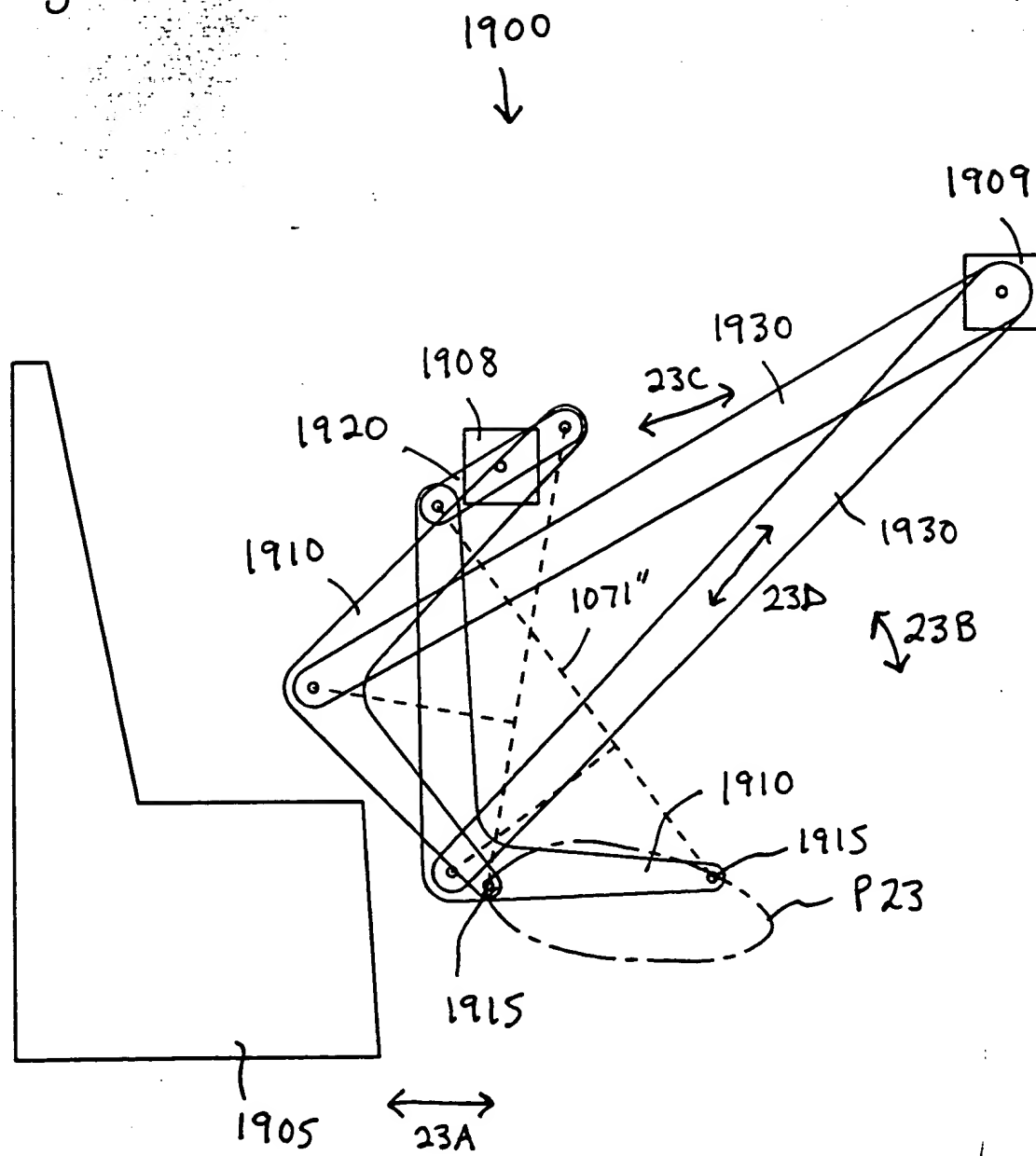
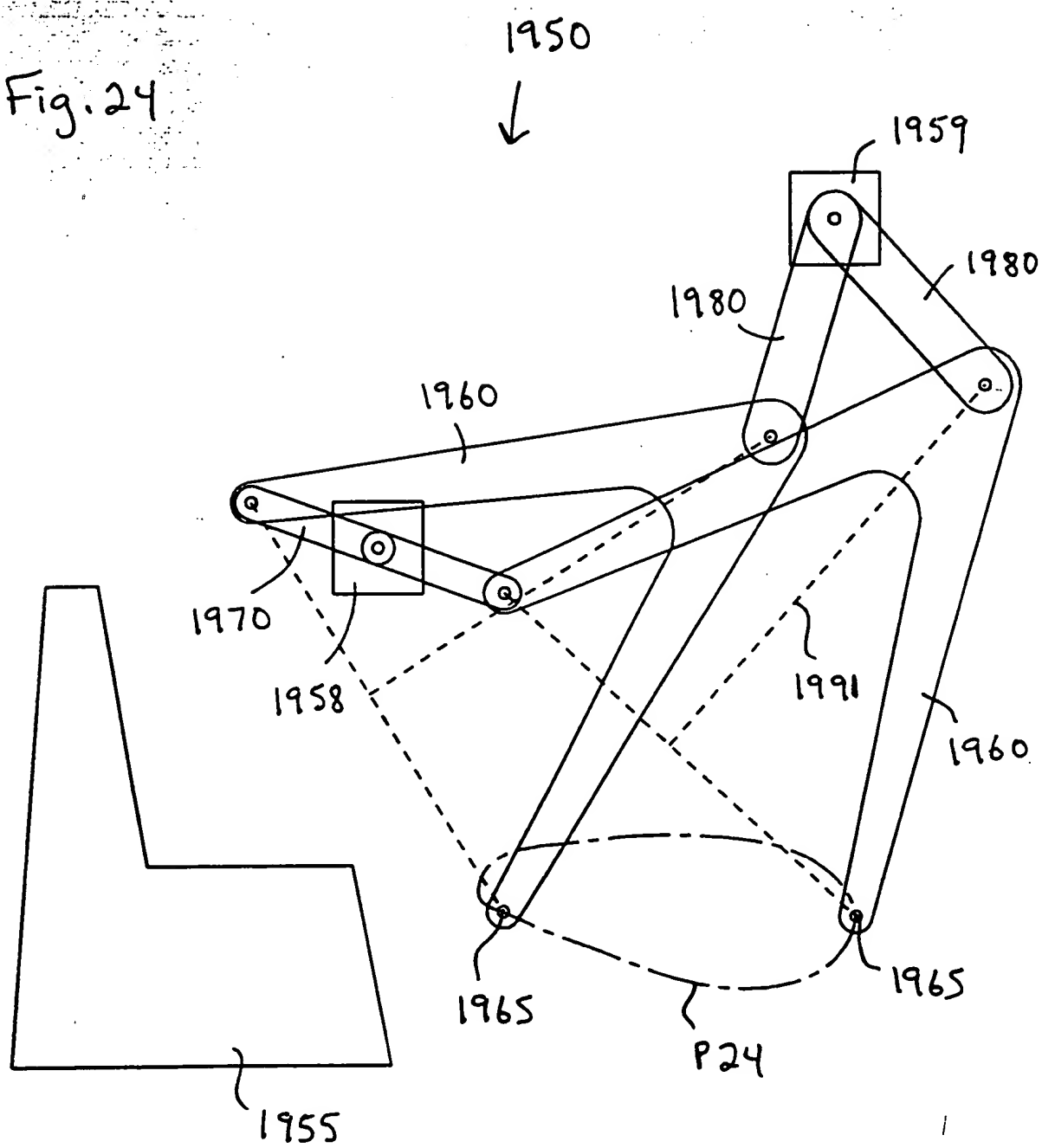


Fig. 24



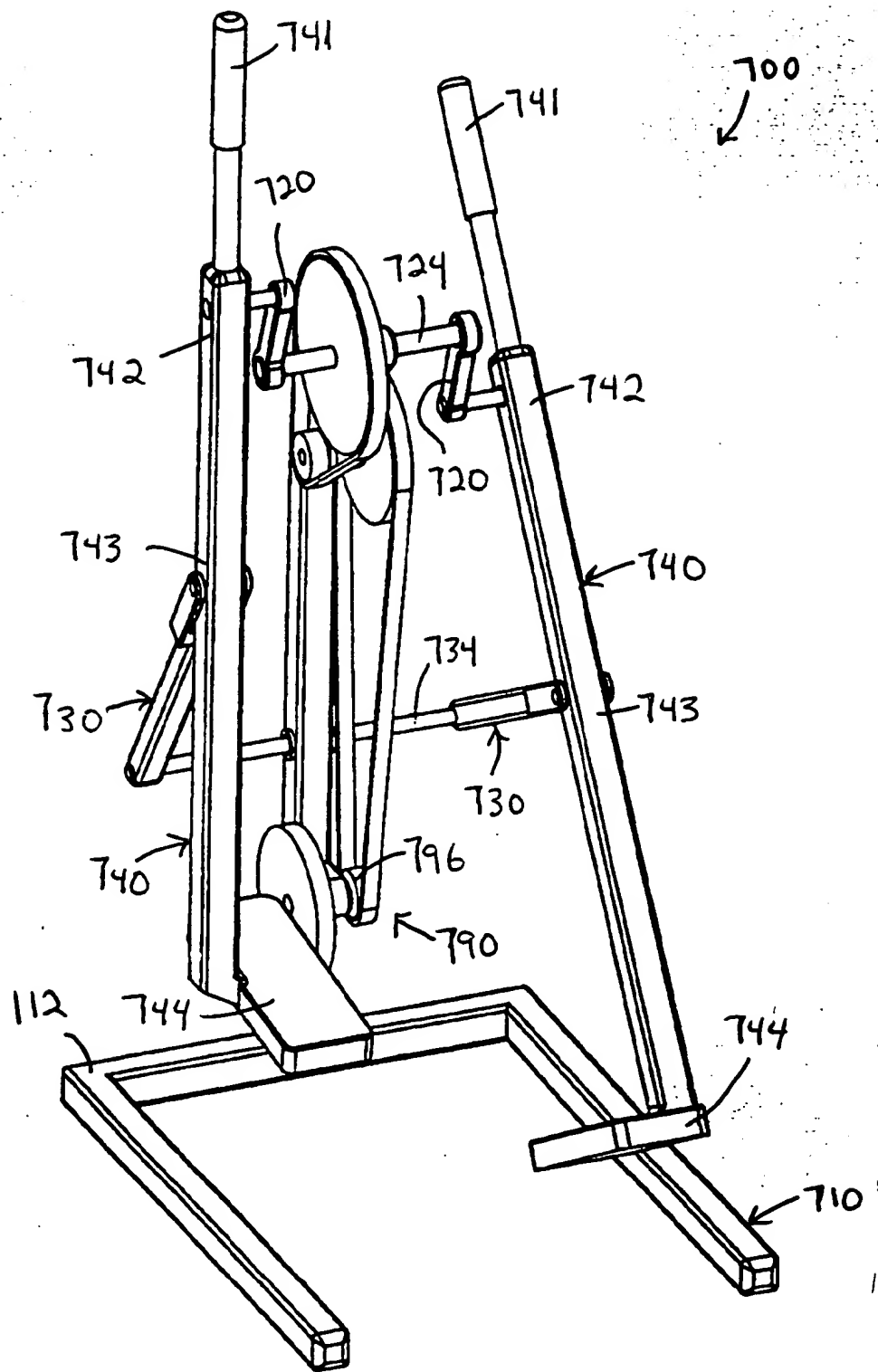


Fig. 25

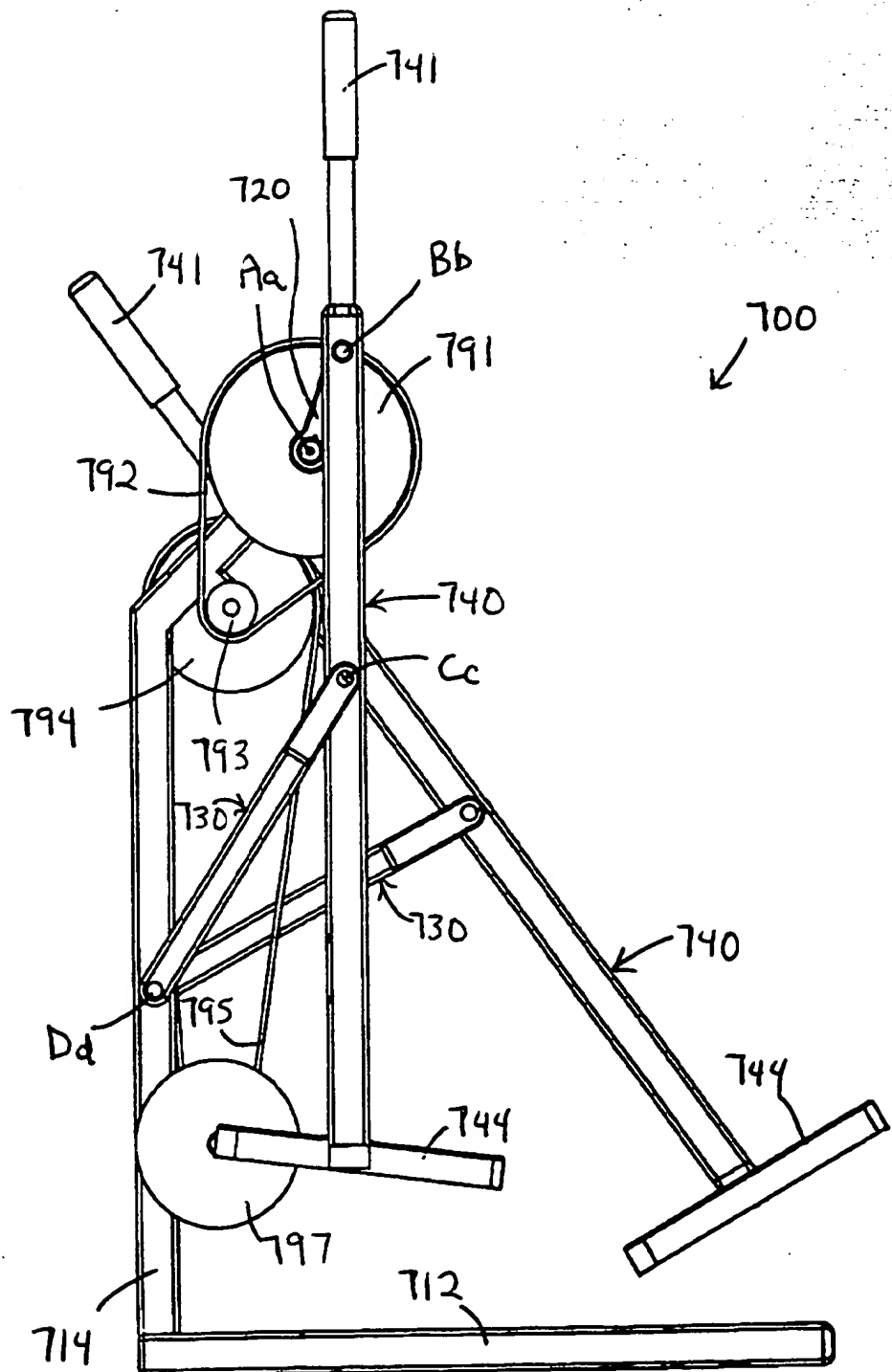


Fig. 26

Fig. 27

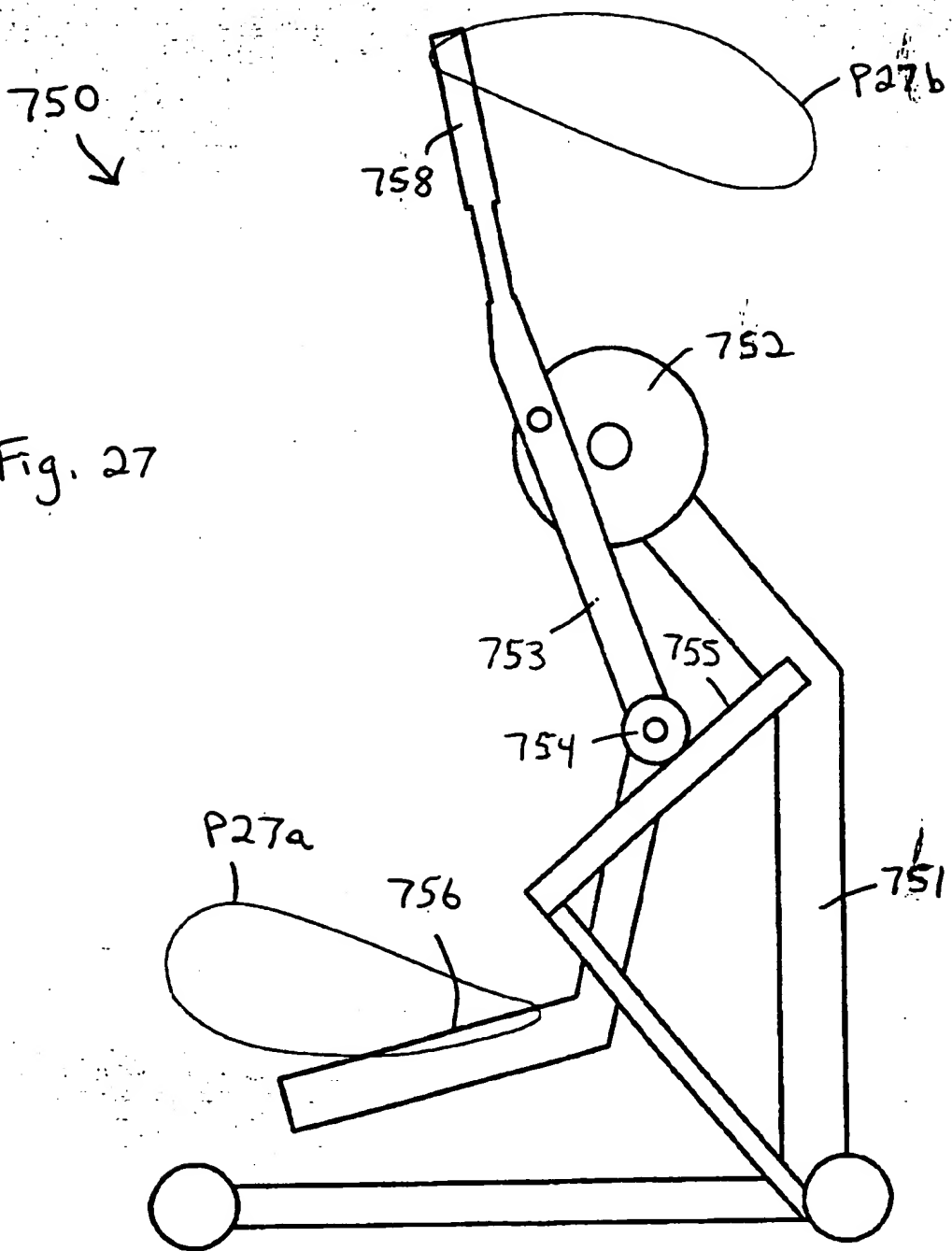
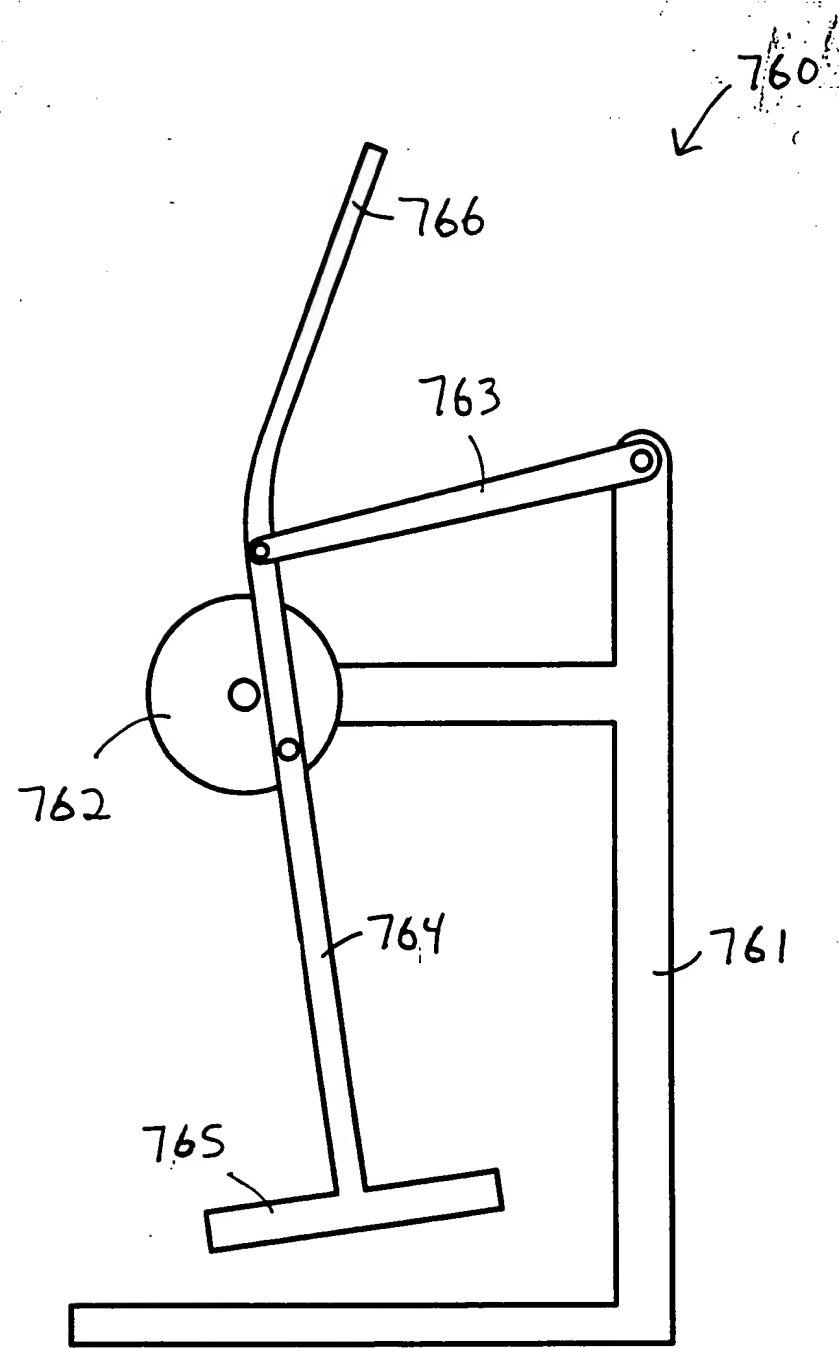
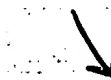


Fig. 28



770



776

776

775

779

777

Fig. 29

772

773

771

P29'

P29

774

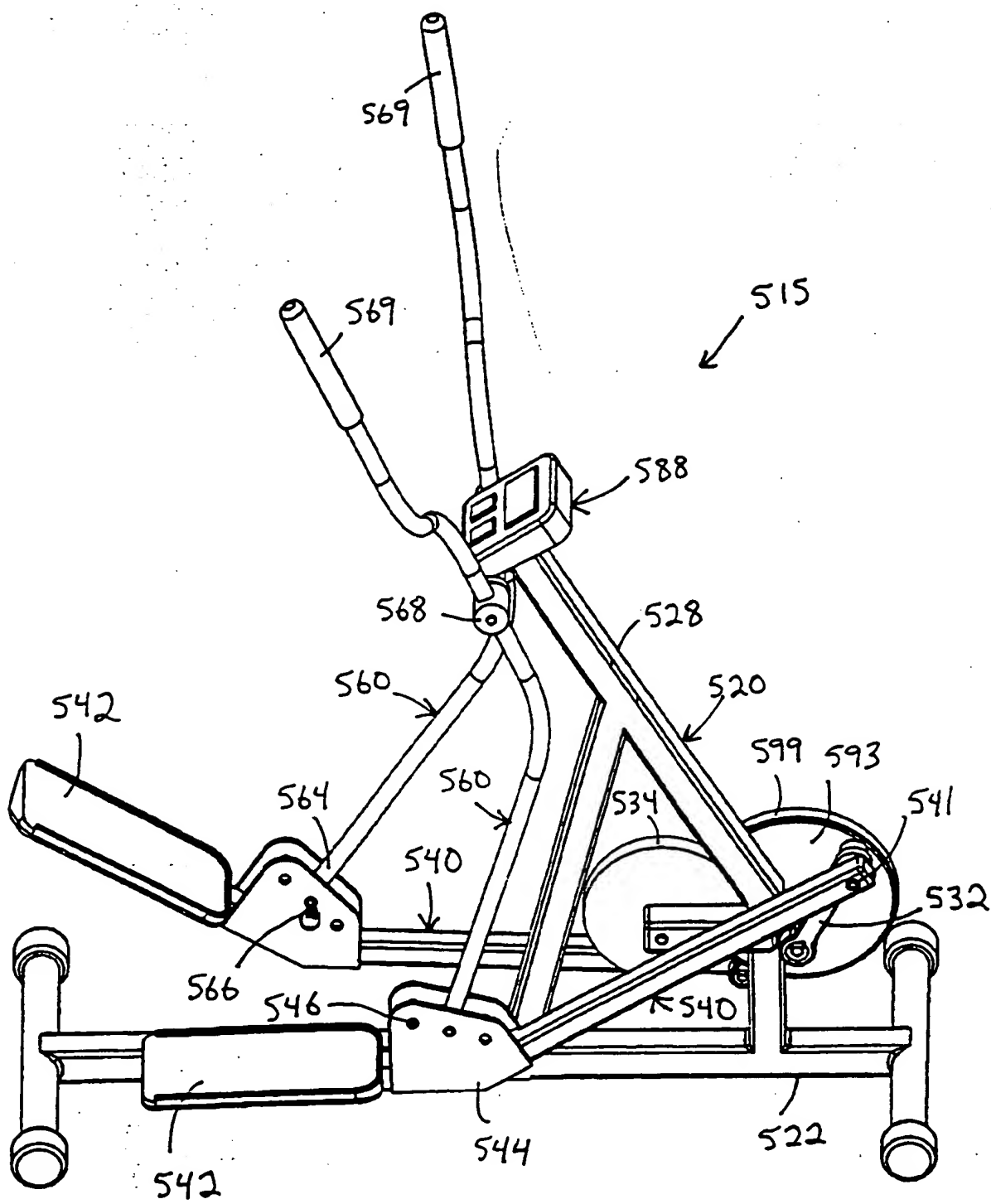


Fig. 30

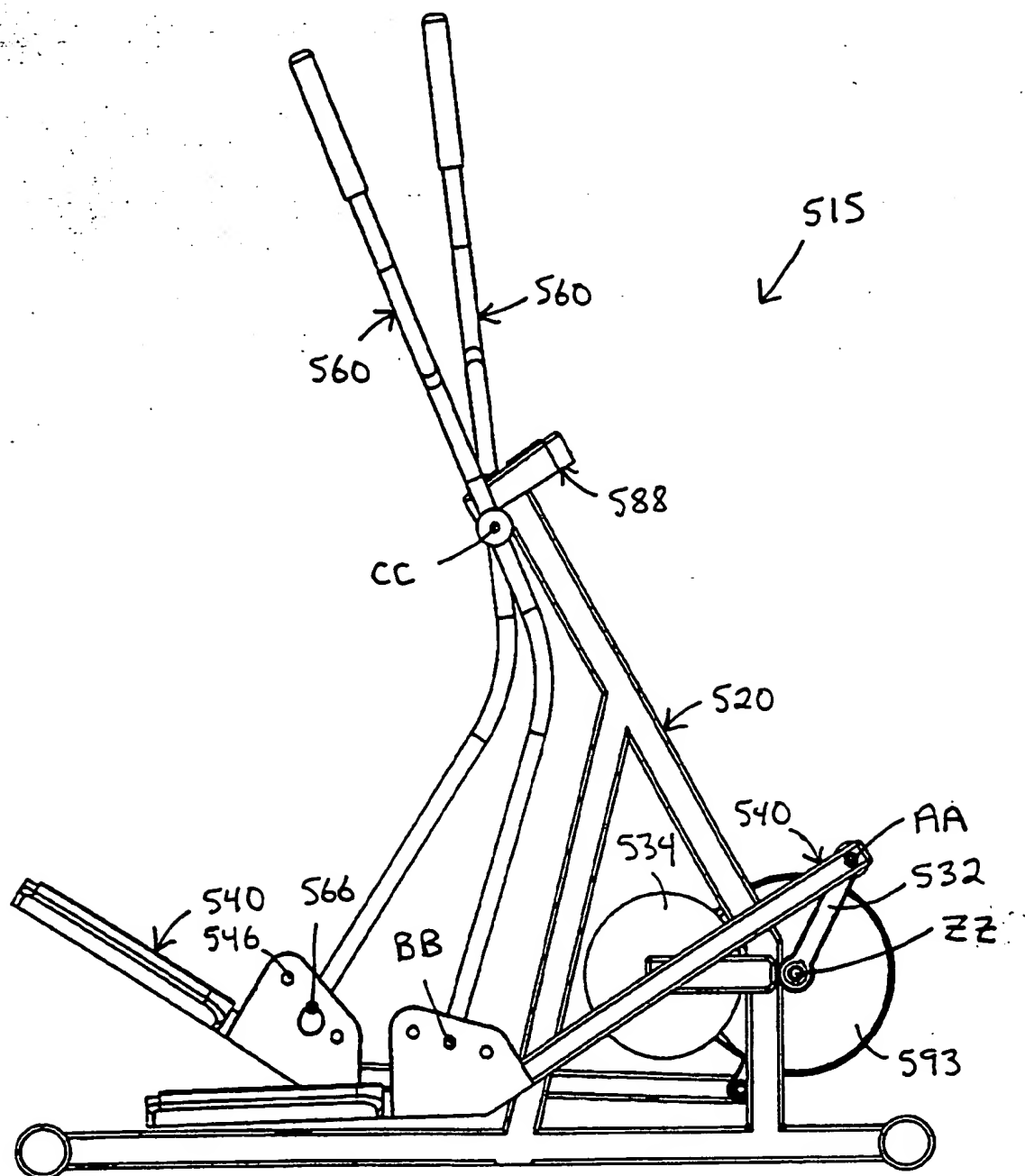


Fig. 31

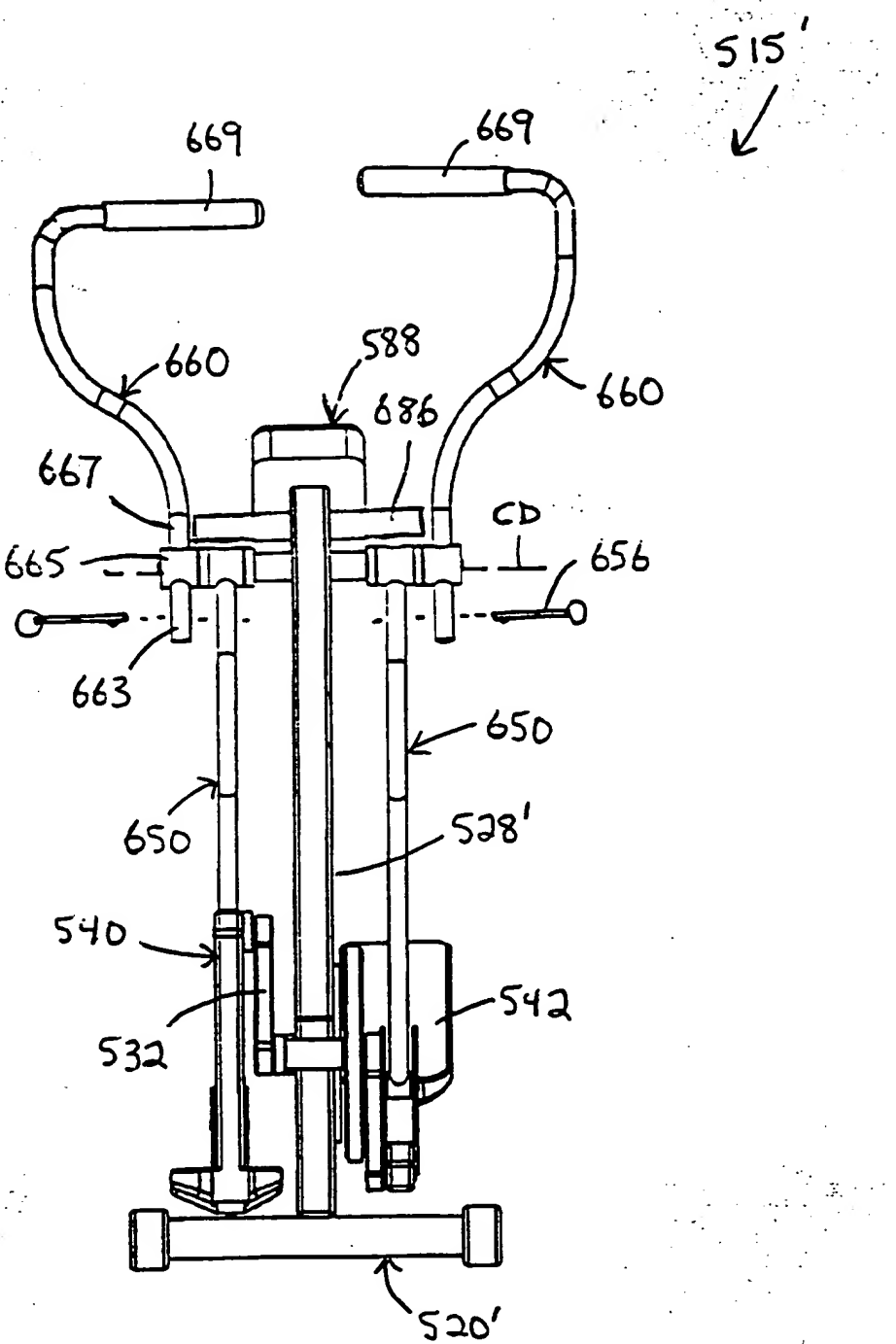


Fig. 32.

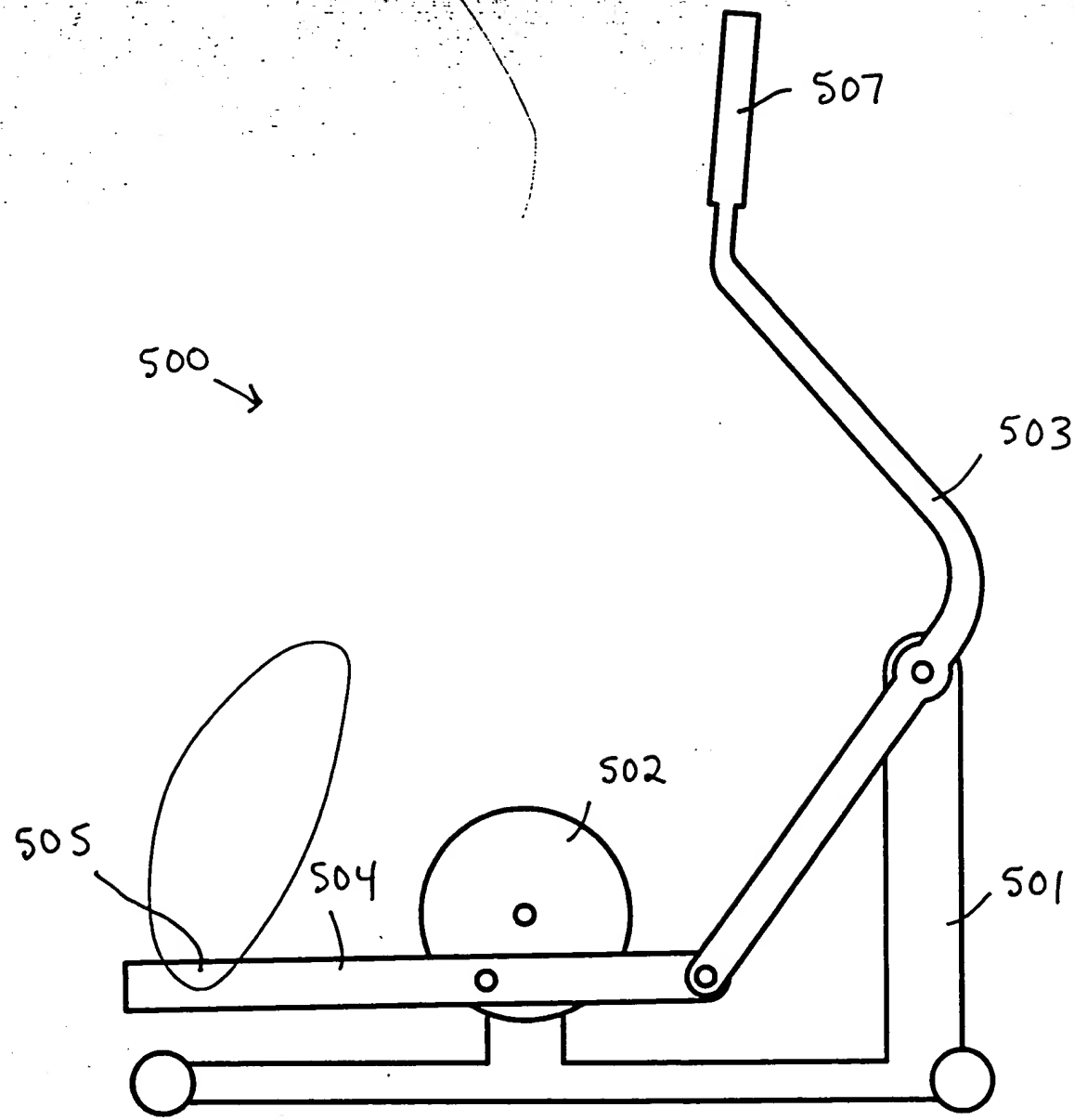
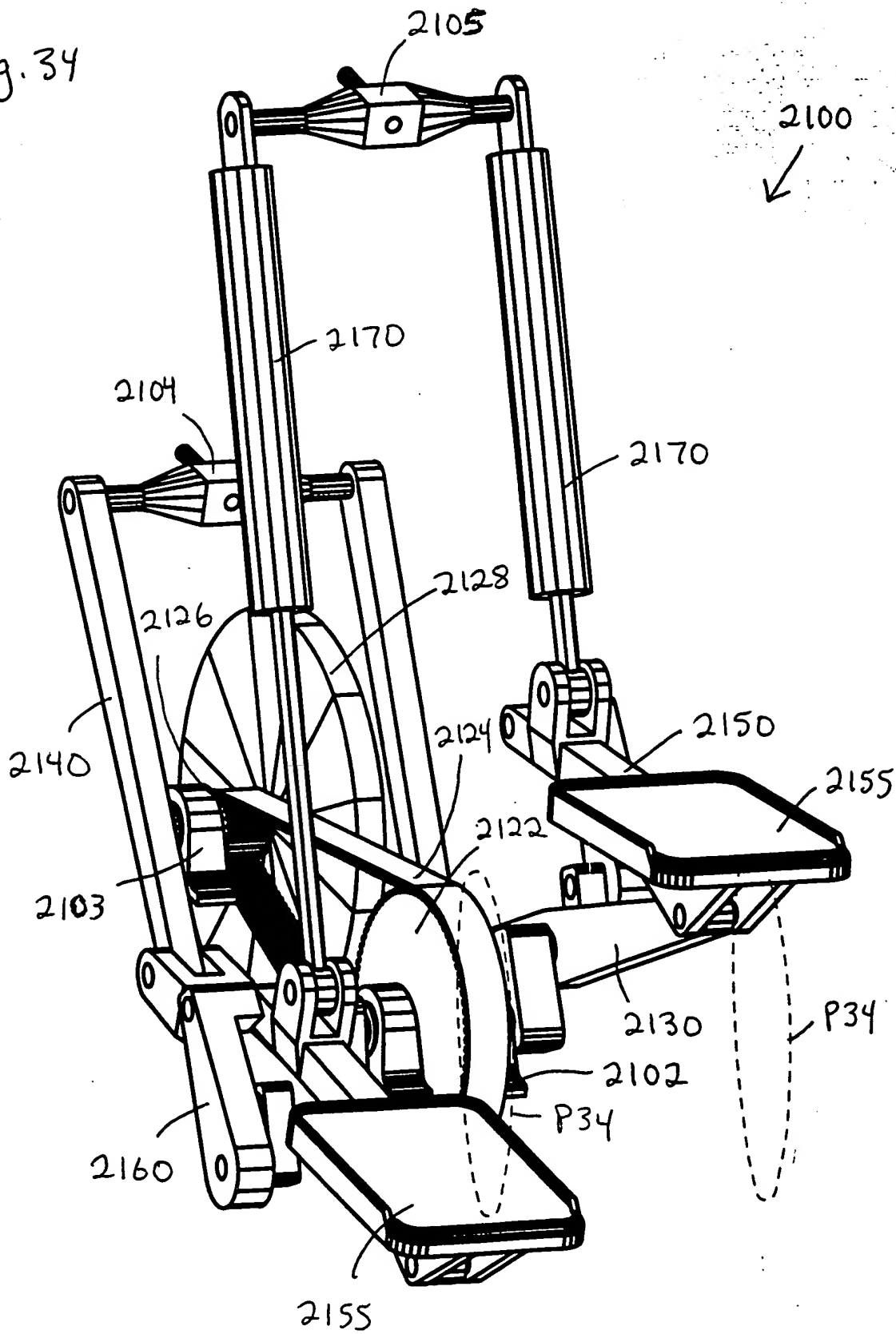


Fig. 33

Fig. 34



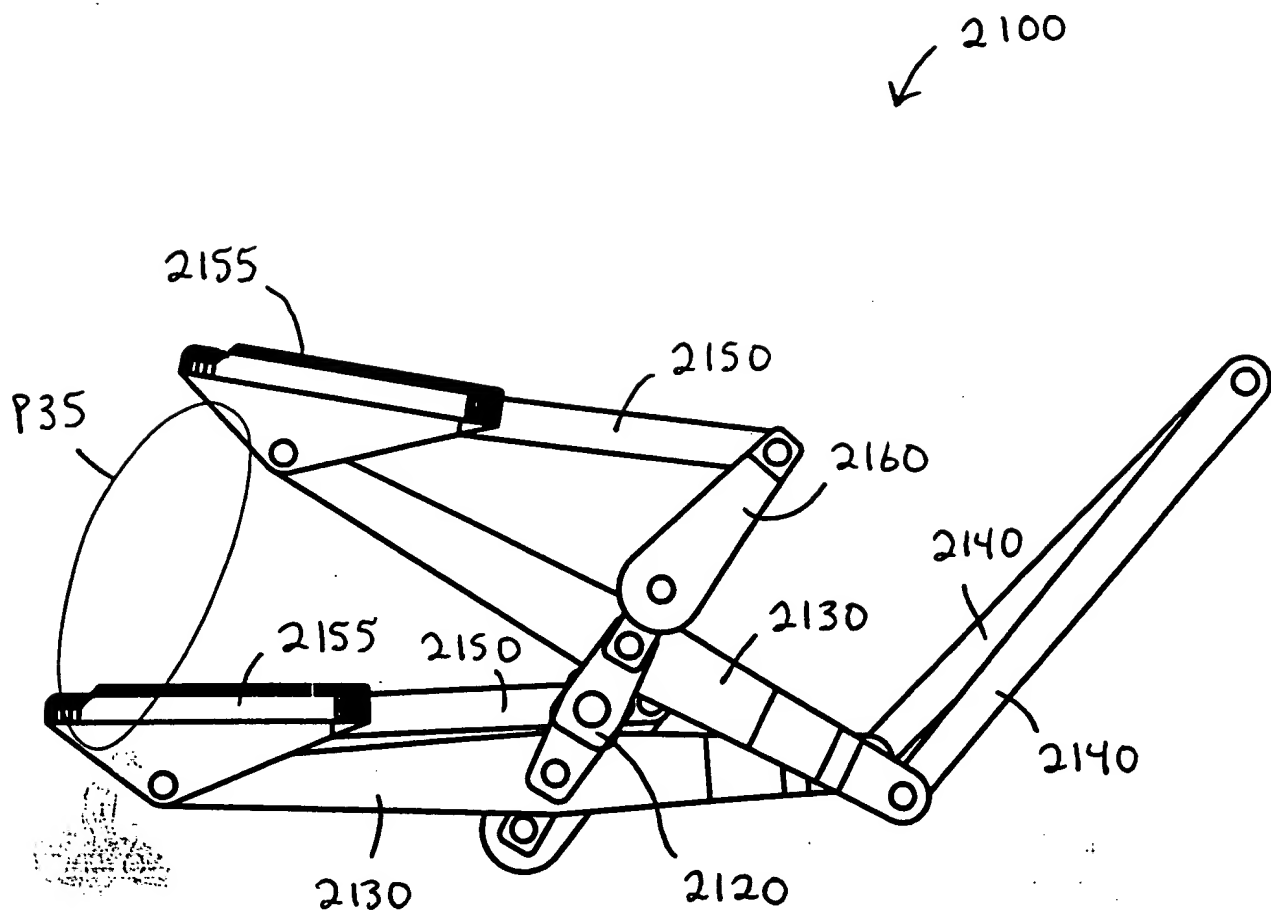


Fig. 35

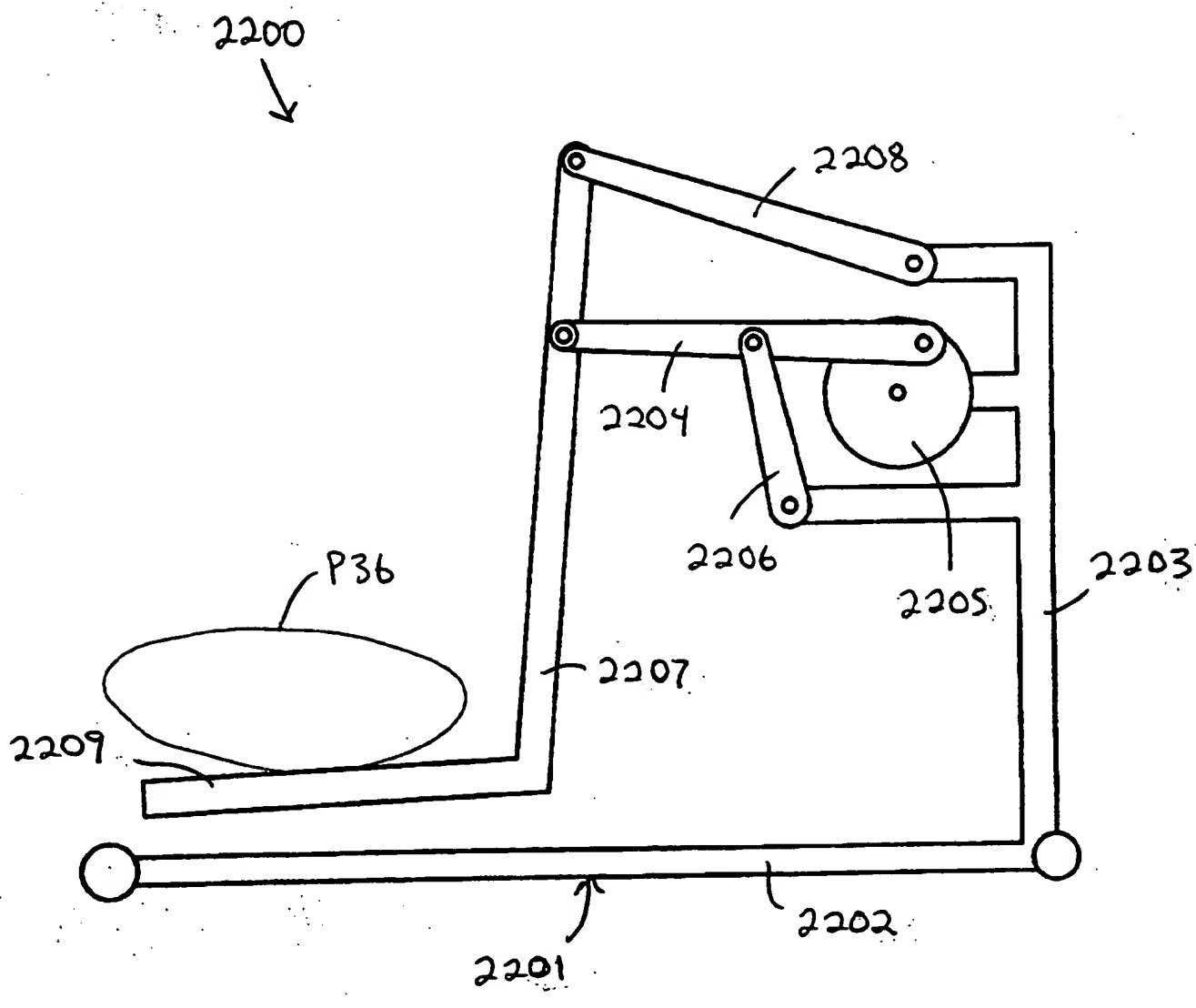


Fig. 36

Fig. 37

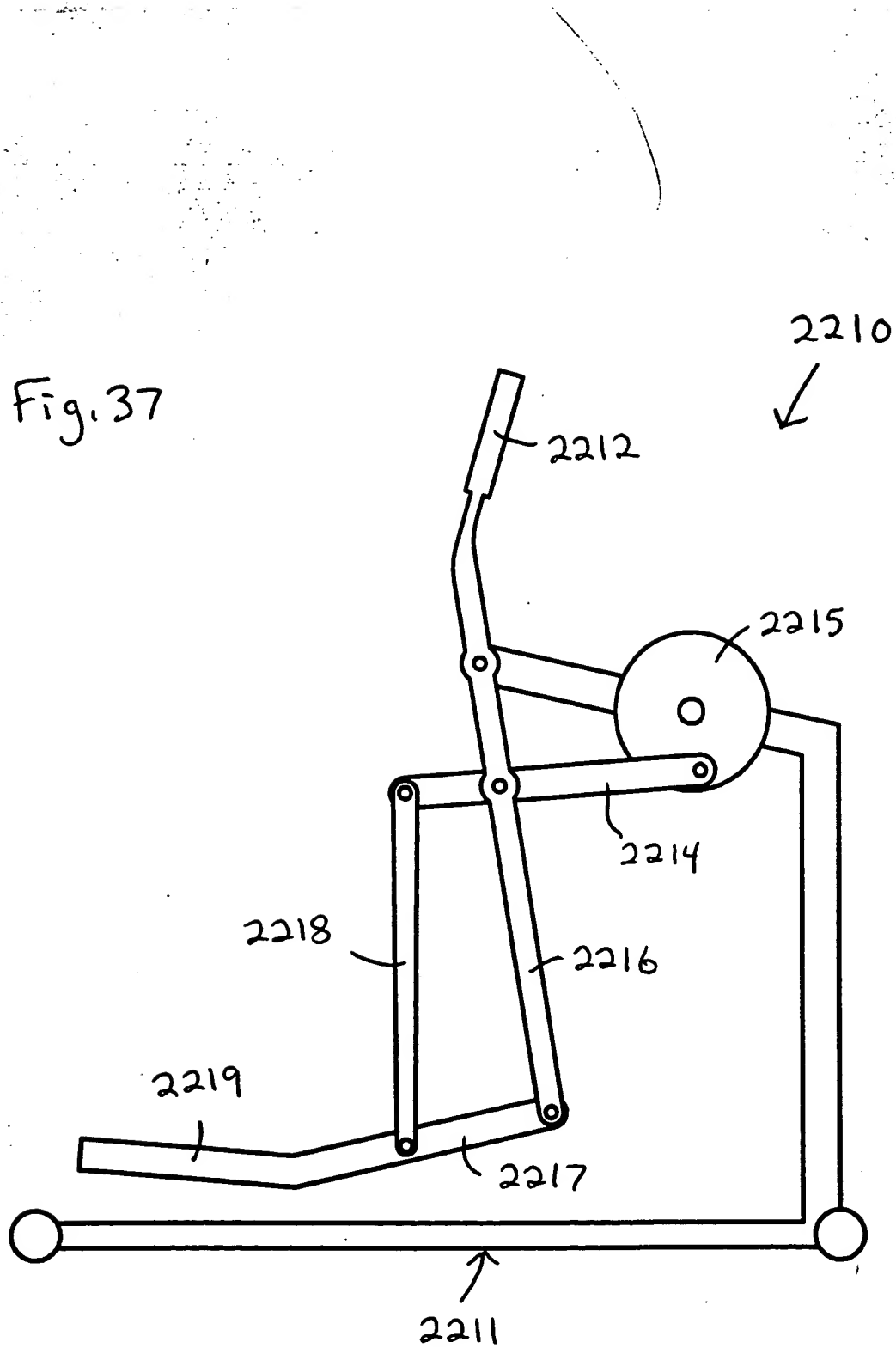


Fig. 39

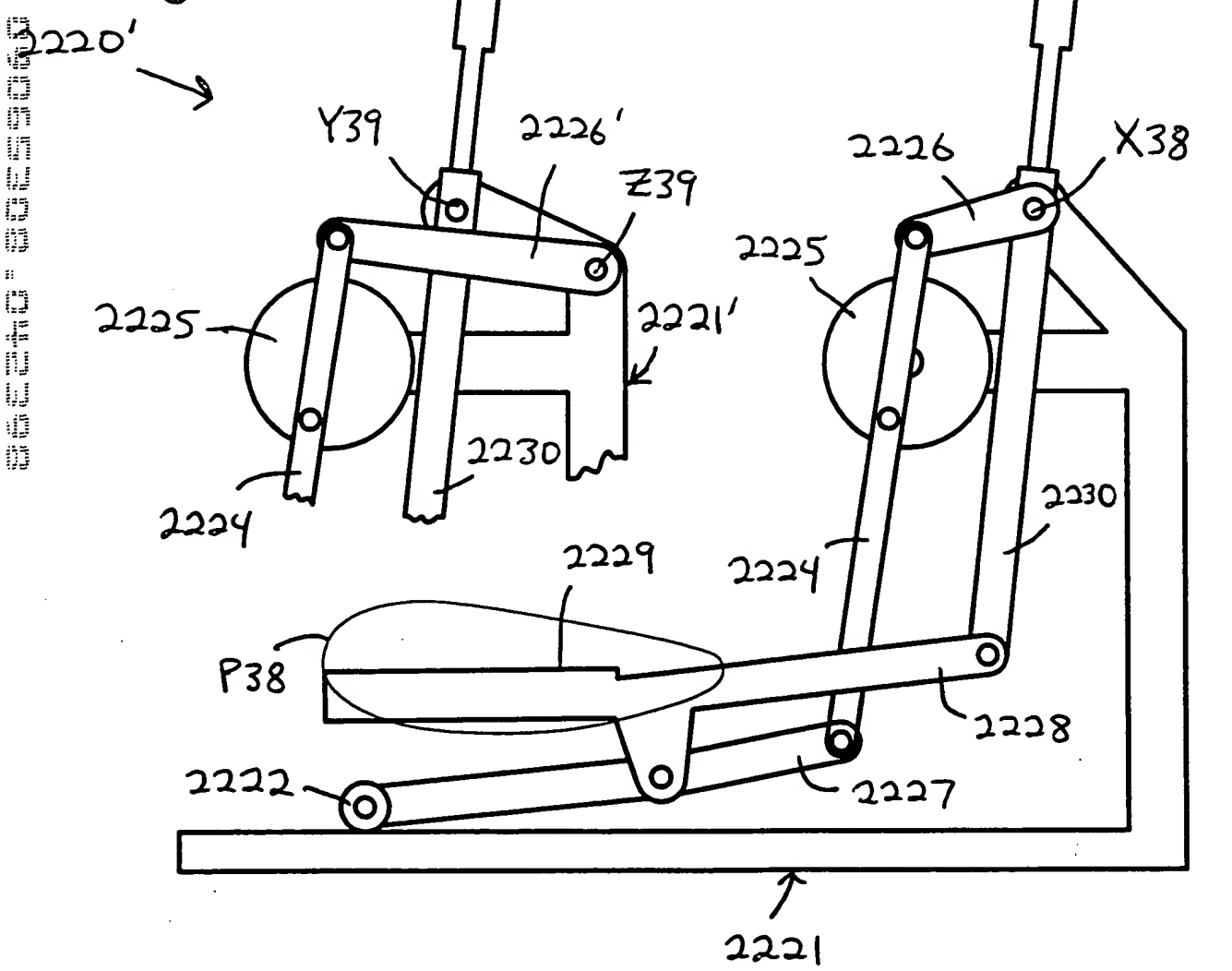


Fig. 38

2200 2201 2202 2203 2204 2205 2206 2207

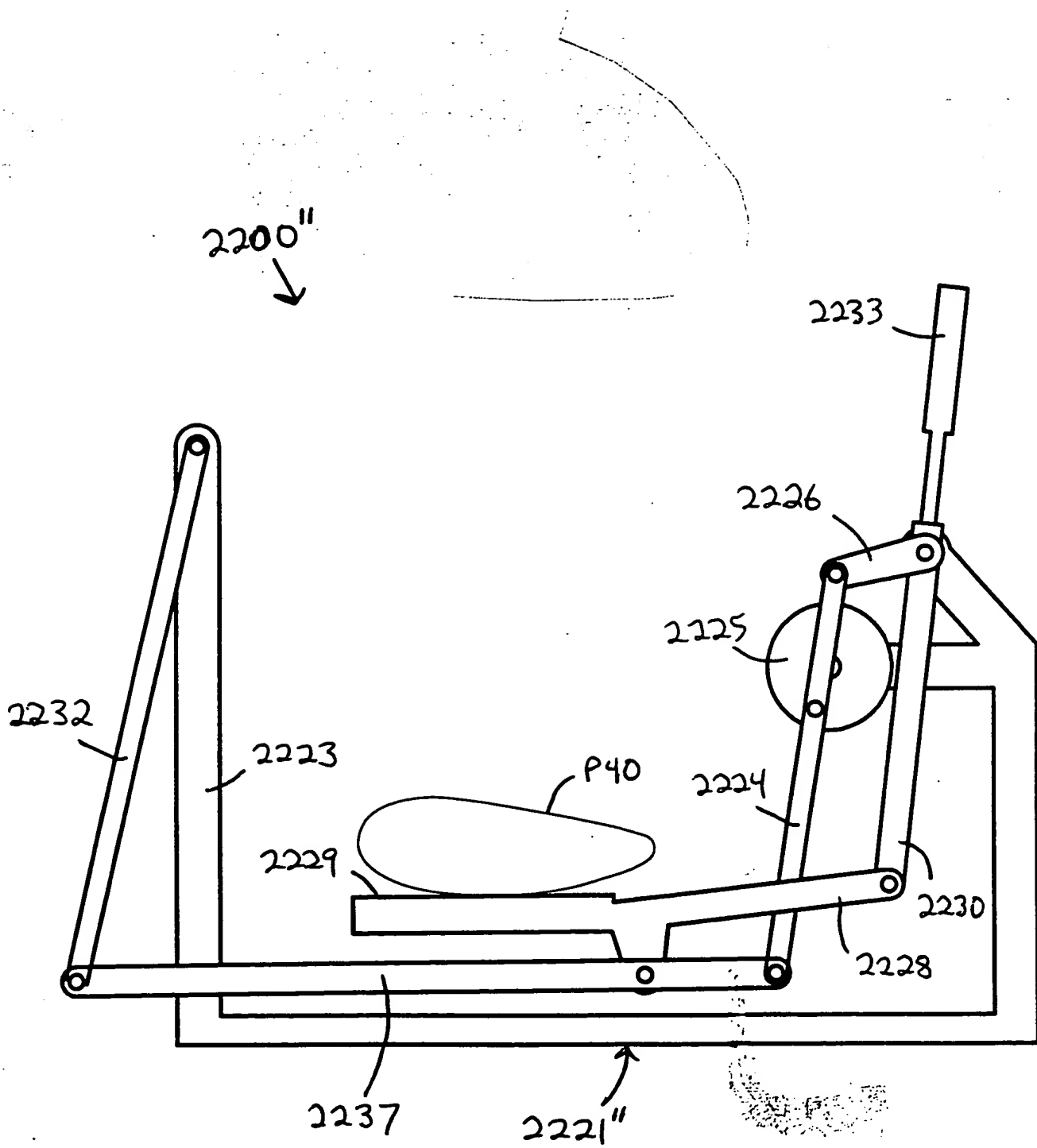
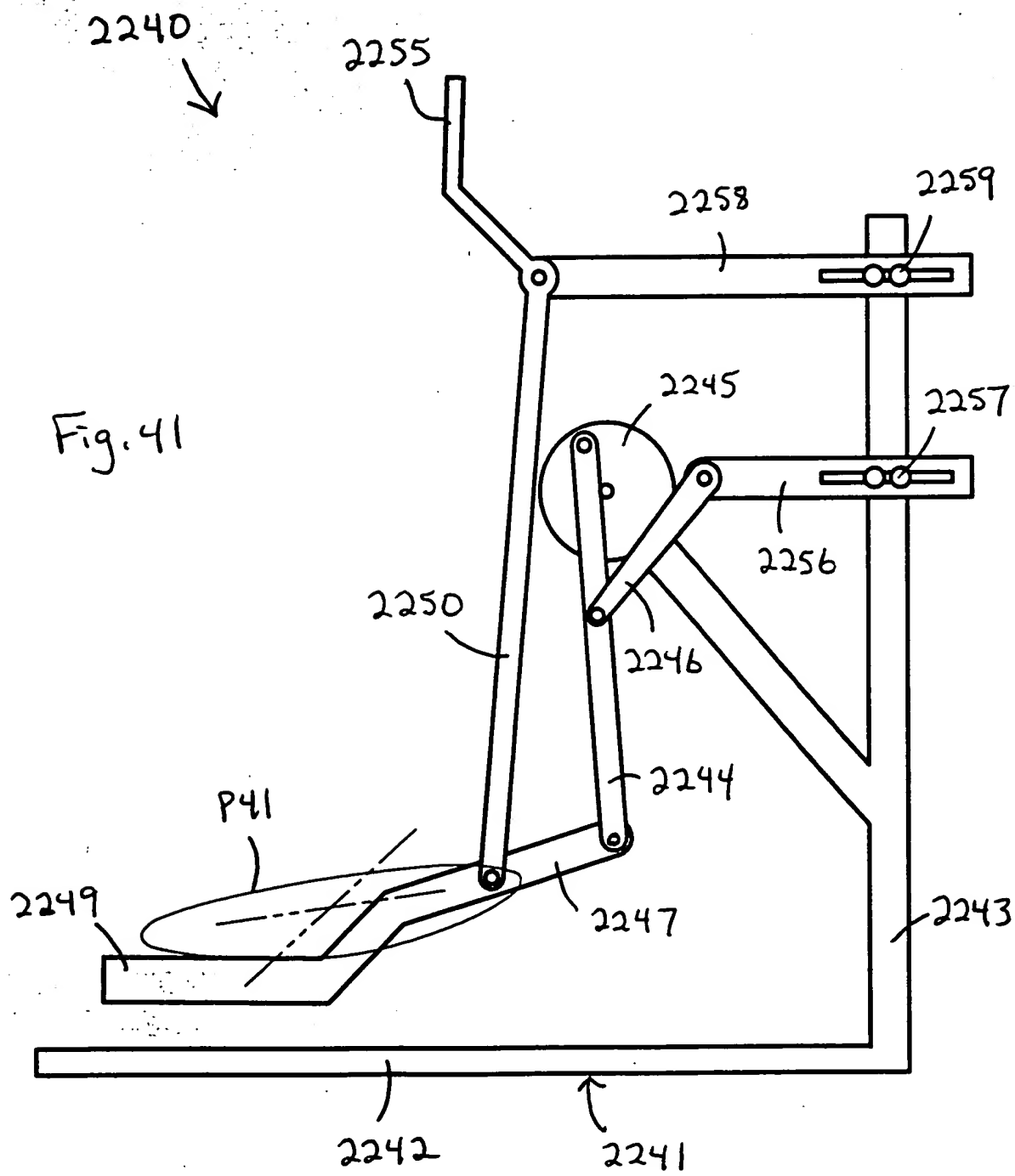


Fig. 40

Fig. 41



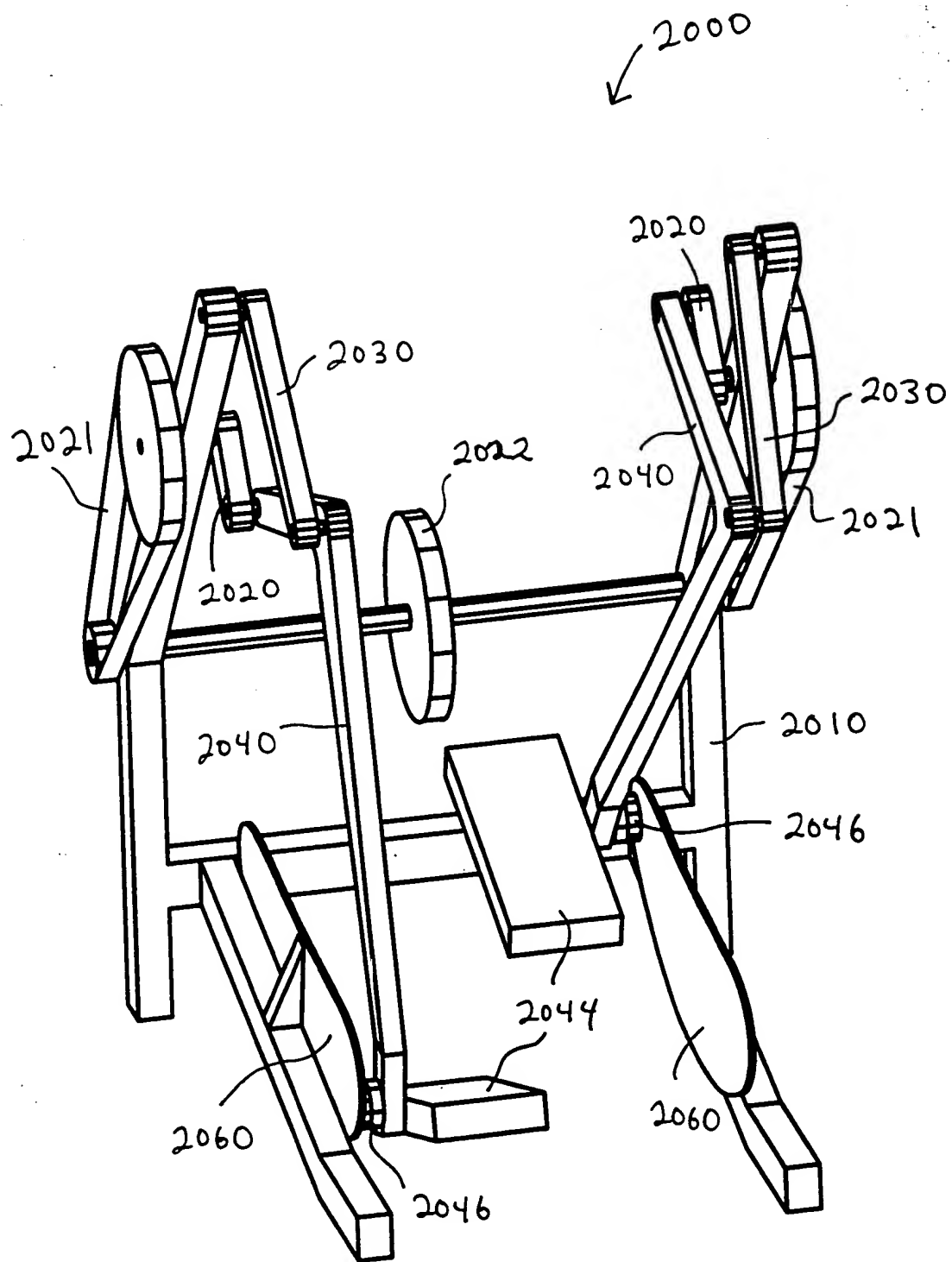


Fig. 42

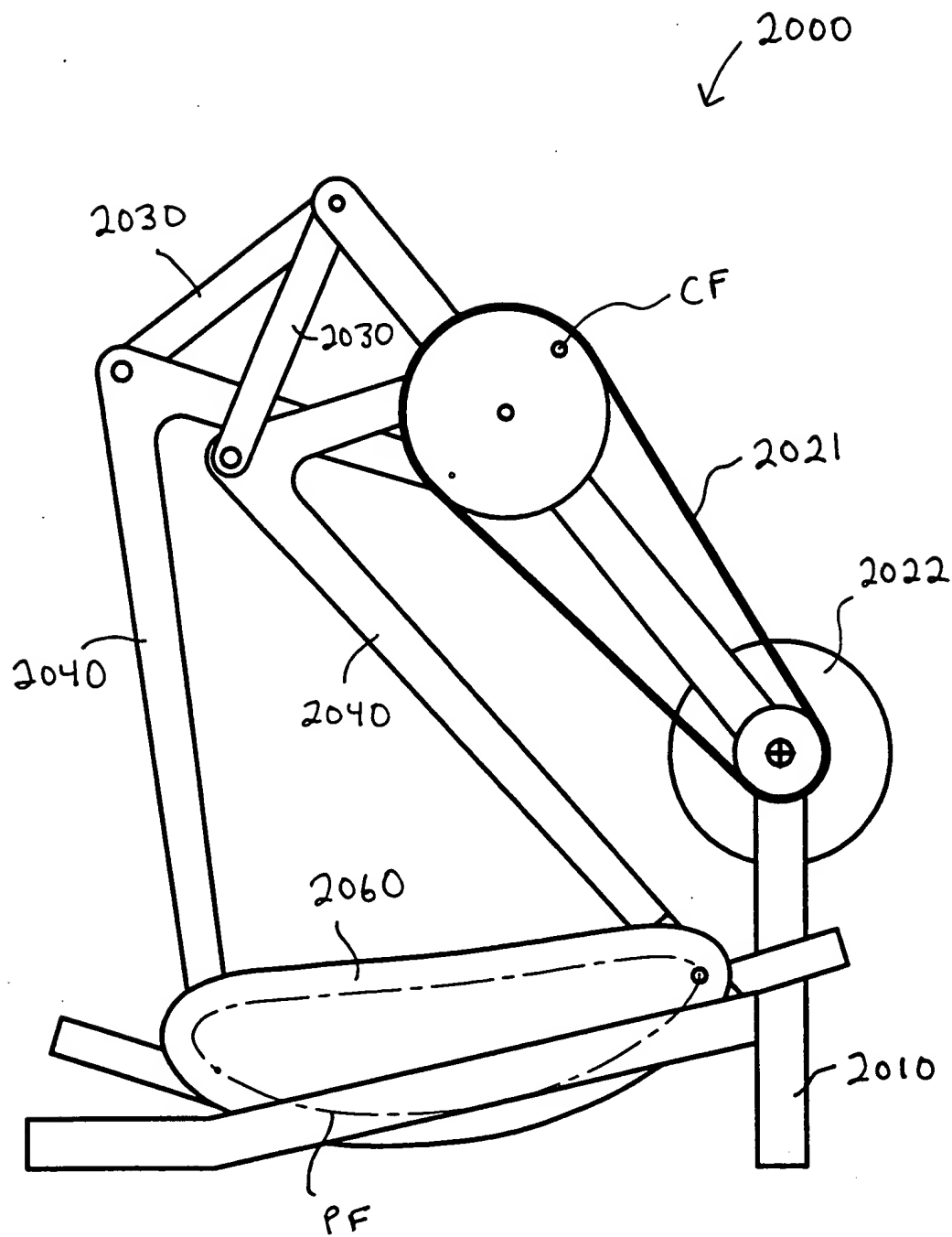


Fig. 43

FIG. 44

